

|

**TABELLE RIGUARDANTI**  
**I *CONTROLL VALUE* E I *RELATIVE ASYMMETRY* DELLE CASE POMPEIANE**

### *Premessa*

Il metodo proposto da M. Grahame<sup>1</sup> per la comprensione dell'utilizzo e la frequentazione degli ambienti domestici della Casa del Fauno è un tipo d'analisi che dovrebbe permettere di descrivere in modo puntuale l'accesso agli ambienti di una casa attraverso l'elaborazione di carte e calcoli al fine di comprenderne i rapporti dei vani e, quindi, l'uso di questi stessi in base al grado di frequentazione da parte dei suoi abitanti e ospiti<sup>2</sup>.

Innanzitutto, partendo dalla planimetria di un'abitazione, si deve tracciare la cd. *access map* attraverso cui si possa cogliere graficamente l'accessibilità dall'esterno verso l'interno e i rapporti tra gli ambienti domestici attraverso le linee-connettore così da avere una *spatial configuration*. Compresi i rapporti interni tra i vari vani e i movimenti di spostamento all'interno della casa, si deve disegnare inoltre una pianta «giustificata», vale a dire disporre a uno stesso livello tutti gli spazi con un comune grado di accessibilità dall'esterno preservando i nessi di passaggio e d'accesso<sup>3</sup>. In questo modo si sono ottenute due rappresentazioni grafiche dei rapporti spaziali locali (ambienti limitrofi) e globali (un ambiente rispetto a tutti gli altri) che costituiscono a loro volta il punto di partenza per il calcolo di due coefficienti utili all'esame dei suddetti legami<sup>4</sup>.

Il primo è il c.d. *control value*<sup>5</sup>, che esprime il grado di controllo di uno spazio. Con questo si vuole significare che un numero maggiore di vani limitrofi di un ambiente comporta un maggiore grado di controllo che quest'ambiente ha su di essi. Quindi, se un vano ha un valore di controllo

---

<sup>1</sup> Si deve ricordare che lo scopo di Grahame è capire quali spazi fossero aperti all'accoglienza di numerosi visitatori per i riti sociali domestici o destinati a una fruizione più ristretta nel quadro del problema della gestione pubblica o privata della casa romana. L'esempio della casa del Fauno, su cui è il suo studio, si presta meglio della nostra. Infatti, presenta una molteplicità di ambienti e contesti e una maggiore articolazione spaziale delle sue stanze incentrate intorno a sei punti focali, tra i quali due atri e due peristili, che scandivano i ritmi della vita domestica in modo più vario e significativo rispetto alla piccola casa del Laocoonte con un singolo atrio. GRAHAME 1997, pp. 150 ss.

<sup>2</sup> Si basa soprattutto sullo studio di B. HILLIER, J. HANSON, *The social logic of space*, Cambridge 1984. Qui si cita l'edizione del 1997 a riguardo soltanto della procedura che interessa per il nostro caso.

<sup>3</sup> GRAHAME 1997, p. 147; HILLIER, HANSON 1997, pp. 104-108.

<sup>4</sup> GRAHAME 1997, p. 147; HILLIER, HANSON 1997, p. 108.

<sup>5</sup> Ogni spazio ha come coefficiente di partenza 1 da dividersi per il numero di ambienti limitrofi. Poi a ogni ambiente vicino è assegnata una proporzione equivalente al numero di vicini (1:1, se un vano ha un solo vicino, 1:2, 3 o 4 a seconda del numero dei vani a esso direttamente collegato). Eseguito il calcolo per ogni ambiente, il punteggio ottenuto da ognuno andrà sommato ottenendo il *control value* per quel dato ambiente. GRAHAME 1997, p. 147; HILLIER, HANSON 1997, p. 109.

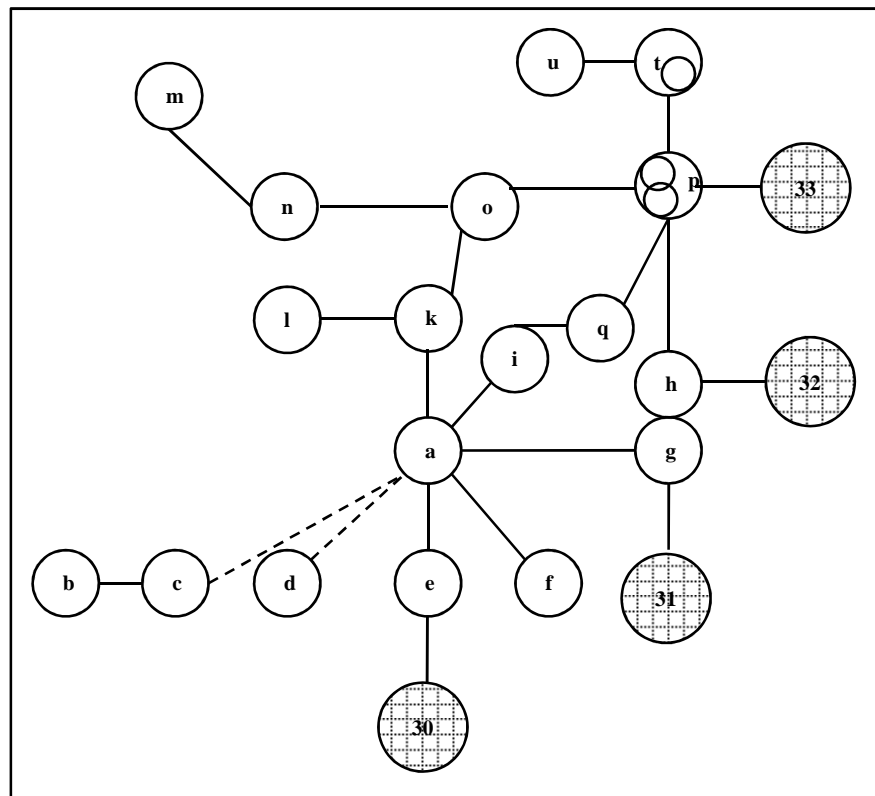
superiore a 1, lo si può definire un vano *controllante*, mentre con un valore inferiore è un vano *controllato*<sup>6</sup>.

Di seguito si presenta la Casa del Laocoonte come caso esemplificativo.

### CASA DEL LAOCOONTE, POMPEI 6 14, 28. 33

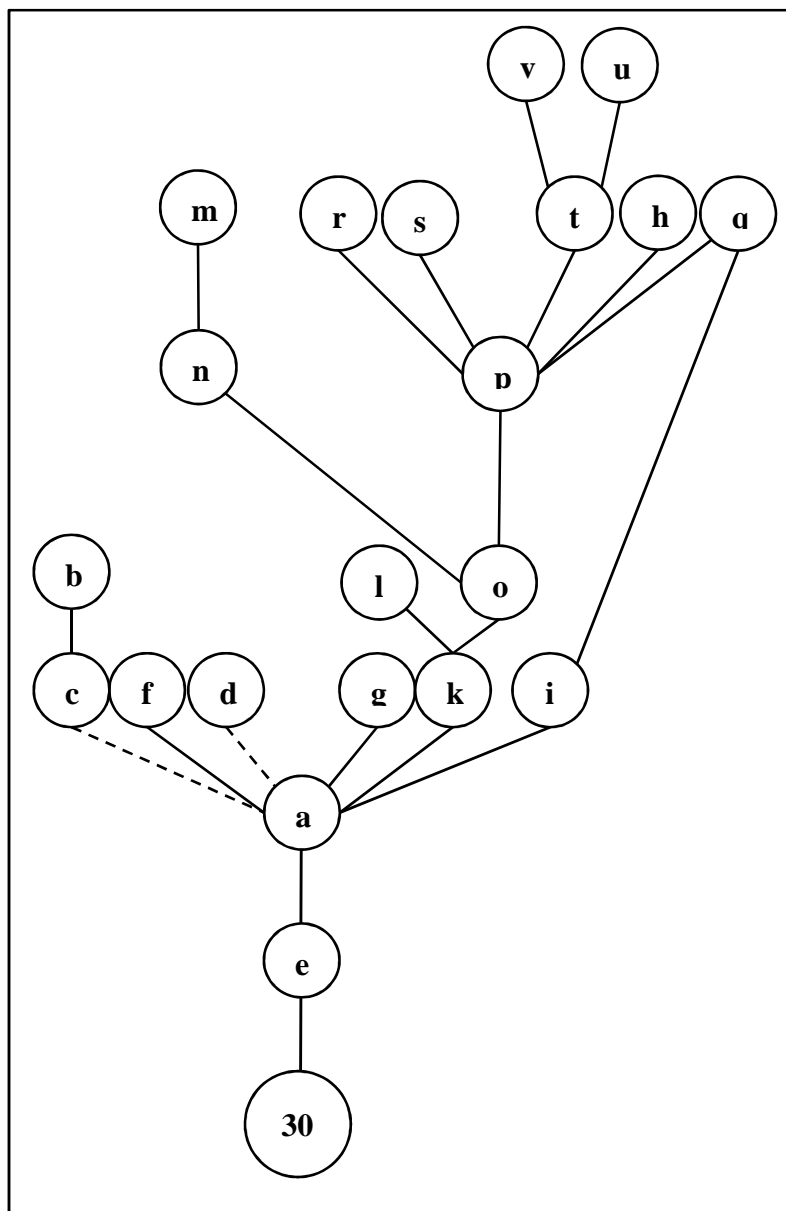


Planimetria della *domus*  
(rielaborazione dell'immagine BRAGANTINI 1994, p. 341)



Access map

<sup>6</sup> GRAHAME 1997, p. 147; HILLIER, HANSON 1997, p. 109.

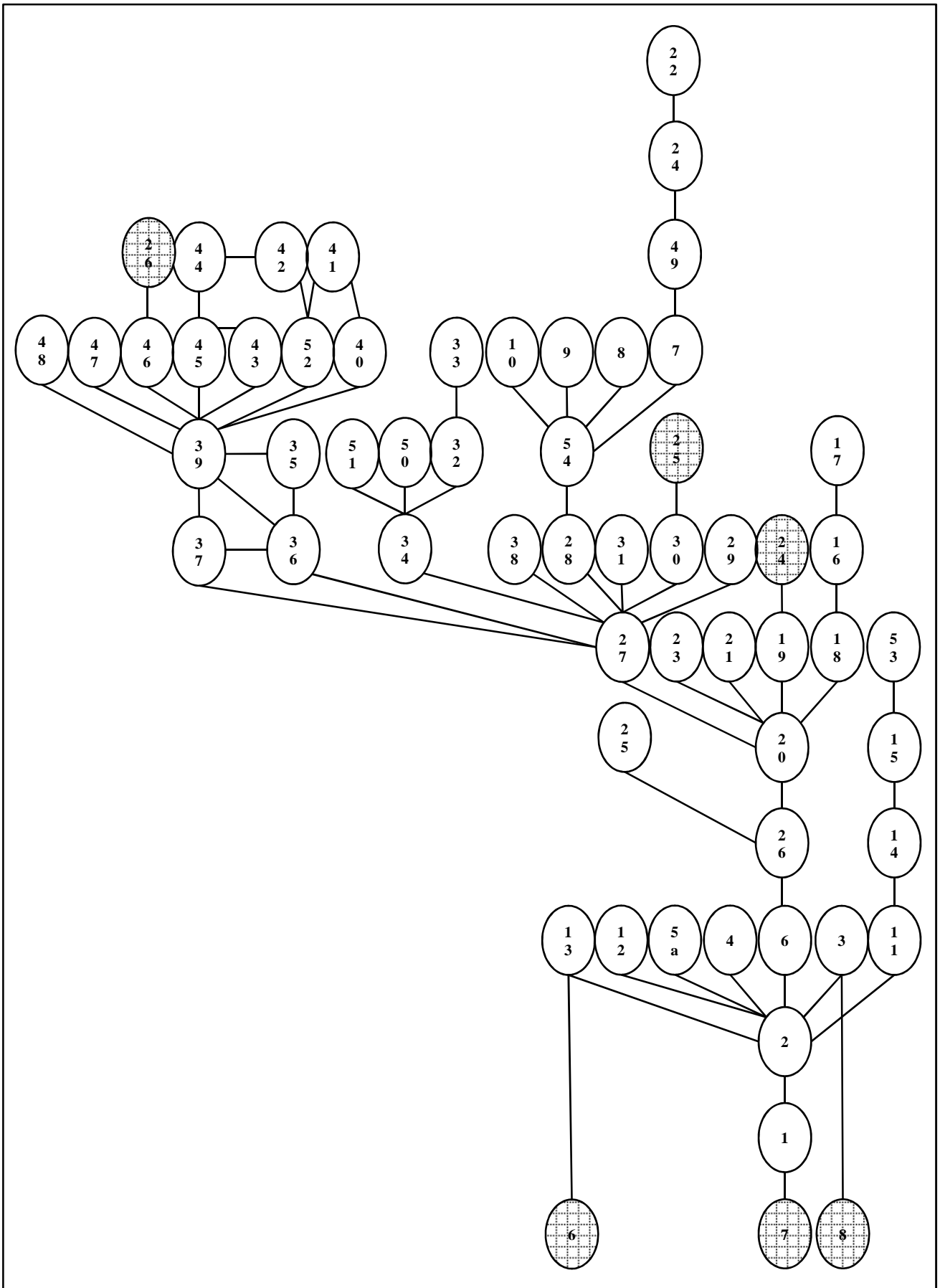


Pianta «giustificata»

**Tabella 1.** Control value degli ambienti:

Vano	Cv	Ambiente	Cv
a	4,83	n	2,33
e	1,20	o	1,99
f	1,20	p	4,66
g	1,20	q	1,66
h	1,16	r	1,16
i	1,70	s	1,16
k	2,53	t	3,16
l	1,33	u	1,16
m	1,50	v	1,16

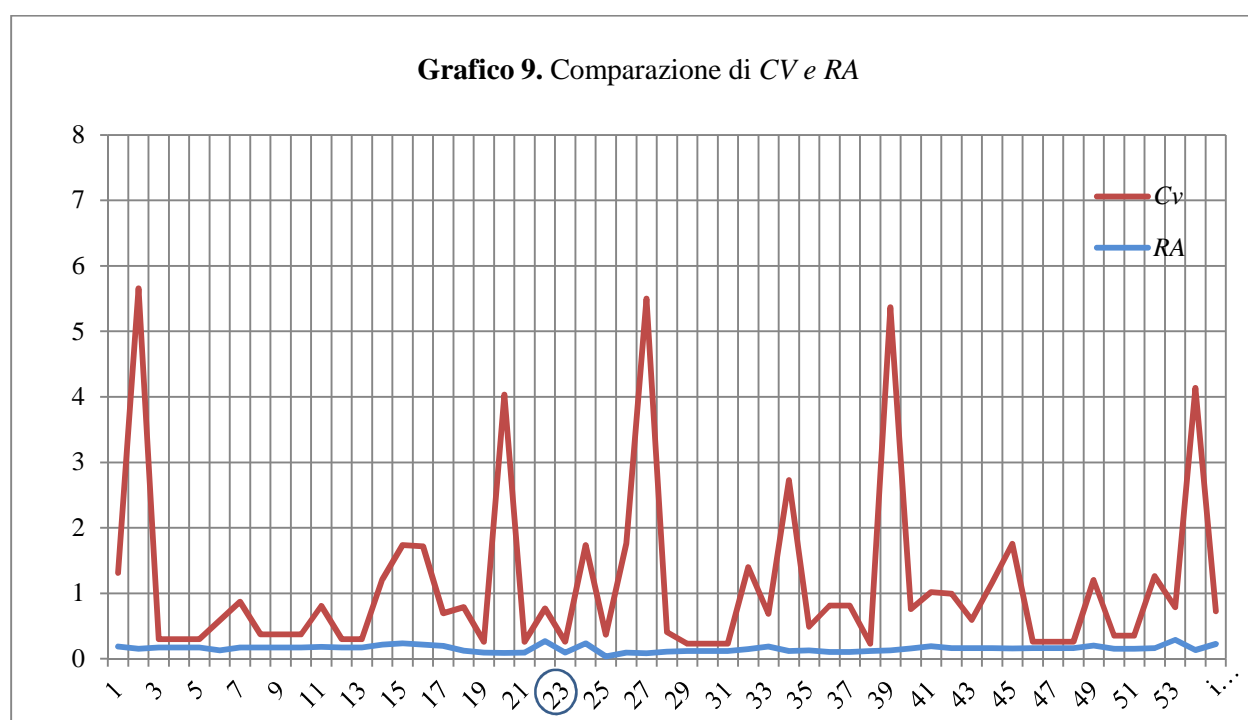
Calcolo di Cv. Es.:  $a = 1 + e + f + g + i + k = 1 + 3 (e, f, g) + 0,50 (i : a, q = 1:2) + 0,33 (k : a, o, l = 1:3) = 4,83$ .



Pianta «giustificata»

**Tabella 10.** Control value, mean depth e relative Asymmetry:

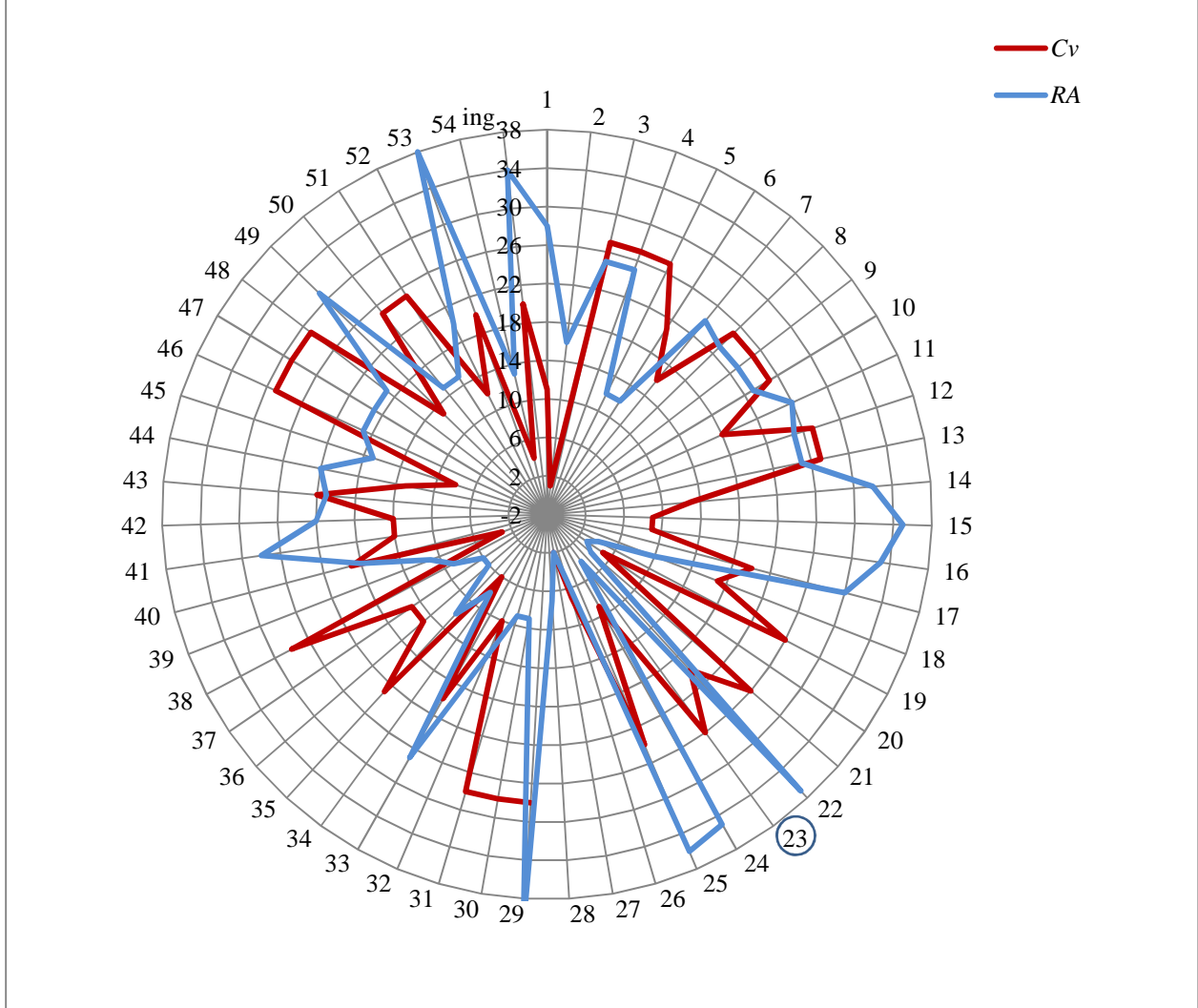
Vano	Cv	MD	RA	Vano	Cv	MD	RA
(1)	1,125	5,777	0,1892	(29)	0,111	4,185	0,1201
(2)	5,5	5,092	0,1544	(30)	0,111	4,185	0,1201
(3)	0,125	5,629	0,1747	(31)	0,111	4,185	0,1201
(4)	0,125	5,629	0,1747	(32)	1,25	4,981	0,15024
(5 a)	0,125	5,629	0,1747	(33)	0,5	5,962	0,1872
(6)	0,458	4,481	0,1313	(34)	2,611	4,148	0,1187
(7)	0,7	5,611	0,174	(35)	0,361	4,481	0,1313
(8)	0,2	5,592	0,1733	(36)	0,711	3,777	0,1048
(9)	0,2	5,592	0,1733	(37)	0,711	3,777	0,1048
(10)	0,2	5,592	0,1733	(38)	0,111	4,185	0,1201
(11)	0,625	5,888	0,1844	(39)	5,24	4,425	0,1292
(12)	0,125	5,696	0,1747	(40)	0,6	5,240	0,1600
(13)	0,125	5,696	0,1747	(41)	0,83	6,055	0,1907
(14)	1	6,703	0,2152	(42)	0,83	5,351	0,1642
(15)	1,5	7,277	0,2368	(43)	0,43	5,333	0,1635
(16)	1,5	5,259	0,2160	(44)	1	5,351	0,1642
(17)	0,5	6,240	0,1977	(45)	1,6	5,185	0,1579
(18)	0,666	4,314	0,125	(46)	0,1	5,2777	0,1614
(19)	0,166	3,462	0,0929	(47)	0,1	5,2777	0,1614
(20)	3,944	3,444	0,0922	(48)	0,1	5,2777	0,1614
(21)	0,166	3,462	0,0929	(49)	1	6,388	0,203
(22)	0,5	8,203	0,2718	(50)	0,2	5,018	0,1516
(23)	0,166	3,462	0,0929	(51)	0,2	5,018	0,1516
(24)	1,5	7,333	0,2389	(52)	1,1	5,341	0,1628
(25)	0,333	4,851	0,0363	(53)	0,5	8,685	0,29
(26)	1,666	3,5	0,0934	(54)	4	4,611	0,1362
(27)	5,416	3,203	0,0831	ingresso	0,5	6,907	0,2269
(28)	0,2	3,851	0,1078				



**Tabella 11.** Classificazione degli spazi secondo i loro *Cv* e *RA*:

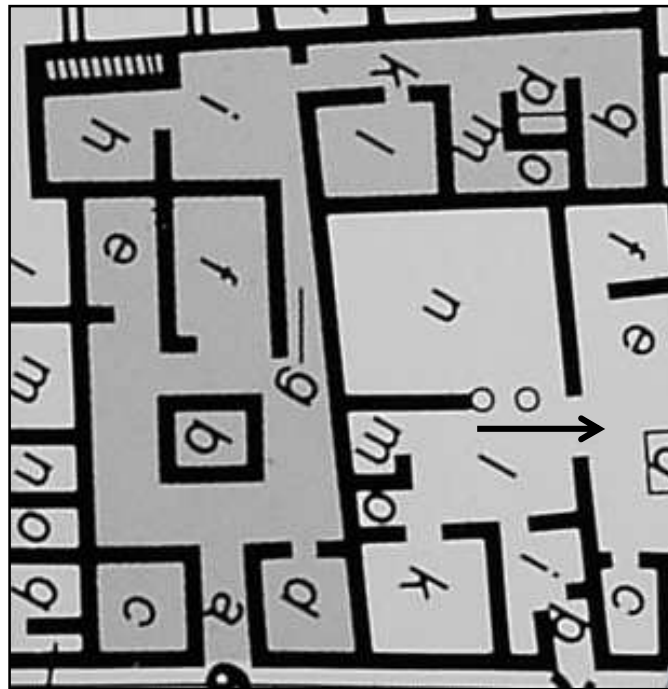
<b>Ambiente : <i>Cv</i></b>	<b>Posizione</b>	<b>Ambiente : <i>RA</i></b>
(2) (5,5)	<b>1</b>	(25) (0,0363)
(27) (5,416)	<b>2</b>	(27) (0,0831)
(39) (5,24)	<b>3</b>	(20) (0,00922)
(54) (4)	<b>4</b>	(19), (21), ( <b>23</b> ) (0,00929)
(20) (3,944)	<b>5</b>	(26) (0,00934)
(34) (2,611)	<b>6</b>	(37-38) (0,1048)
(26) (1,666)	<b>7</b>	(28) (0,1078)
(45) (1,6)	<b>8</b>	(34) (0,1187)
(15-16), (24), (1,5)	<b>9</b>	(29-31), (38) (0,1201)
(10) (1,25)	<b>10</b>	(18) (0,125)
(11) (1,125)	<b>11</b>	(39) (0,1292)
(52) (1,1)	<b>12</b>	(35) (0,1313)
(14), (44), (49), (1)	<b>13</b>	(6), (35) (0,1313)
(41-42) (0,83)	<b>14</b>	(54) (0,1362)
(36-37) (7,11)	<b>15</b>	(50-51) (0,1516)
(7) (0,7)	<b>16</b>	(32) (0,1502)
(18) (0,666)	<b>17</b>	(2) (0,1544)
(11) (0,625)	<b>18</b>	(45) (0,1579)
(40) (0,6)	<b>19</b>	(40) (0,1600)
(17), (22), (33), (53), (ingresso) (0,5)	<b>20</b>	(46-48) (1614)
(6) (0,458)	<b>21</b>	(52) (0,1628)
(44) (0,43)	<b>22</b>	(43) (0,1635)
(35) (0,361)	<b>23</b>	(42), (44)(0,1642)
(25) (0,333)	<b>24</b>	(8-10) (0,1733)
(8-10), (28), (50-51) (0,2)	<b>25</b>	(7) (0,174)
(19), (21), ( <b>23</b> ), (0,166)	<b>26</b>	(3-5 a), (12-13) (0,1747)
(3-5 a), (12-13) (0,125)	<b>27</b>	(11) (0,1844)
(29-31), (38) (0,111)	<b>28</b>	(33) (0,1872)
(46-48) (0,1)	<b>29</b>	(1) (0,1892)
	<b>30</b>	(41) (0,1907)
	<b>31</b>	(17) (0,1977)
	<b>32</b>	(49) (0,203)
	<b>33</b>	(14) (0,2152)
	<b>34</b>	(16) (0,2160)
	<b>35</b>	(ingresso) (0,2269)
	<b>36</b>	(15) (0,2368)
	<b>37</b>	(24) (0,2389)
	<b>38</b>	(22) (0,2718)
	<b>39</b>	(53) (0,29)

**Grafico 10.** Rappresentazione dei vani secondo la loro classificazione per  $C_v$  e  $RA$

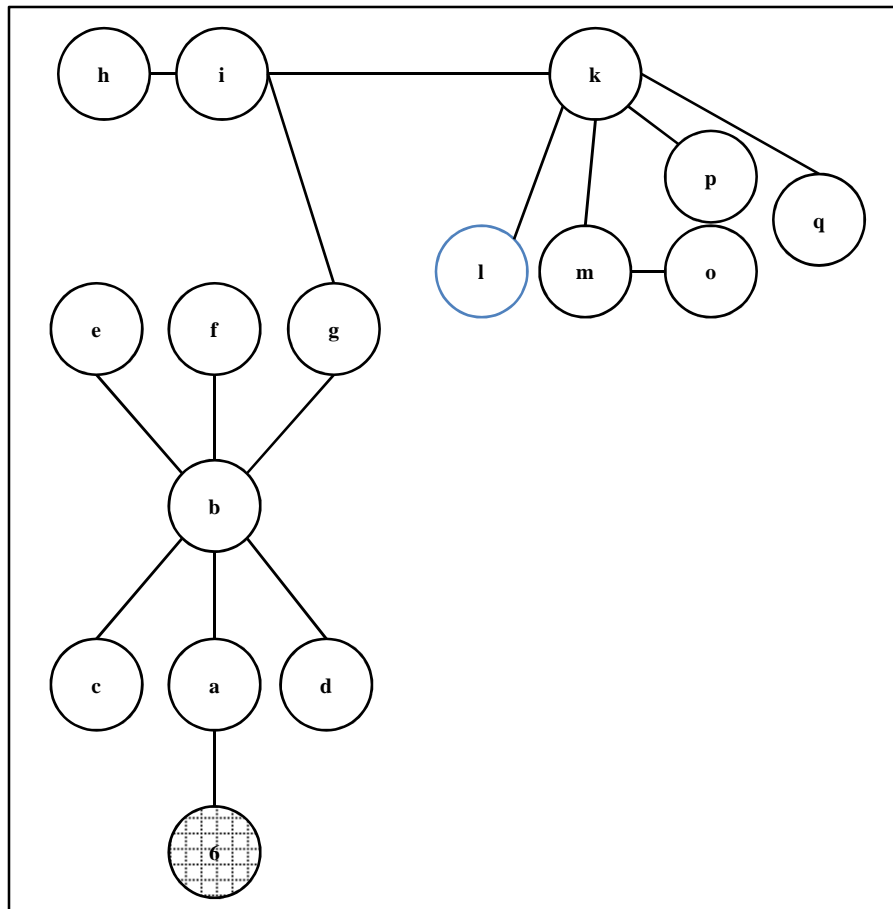




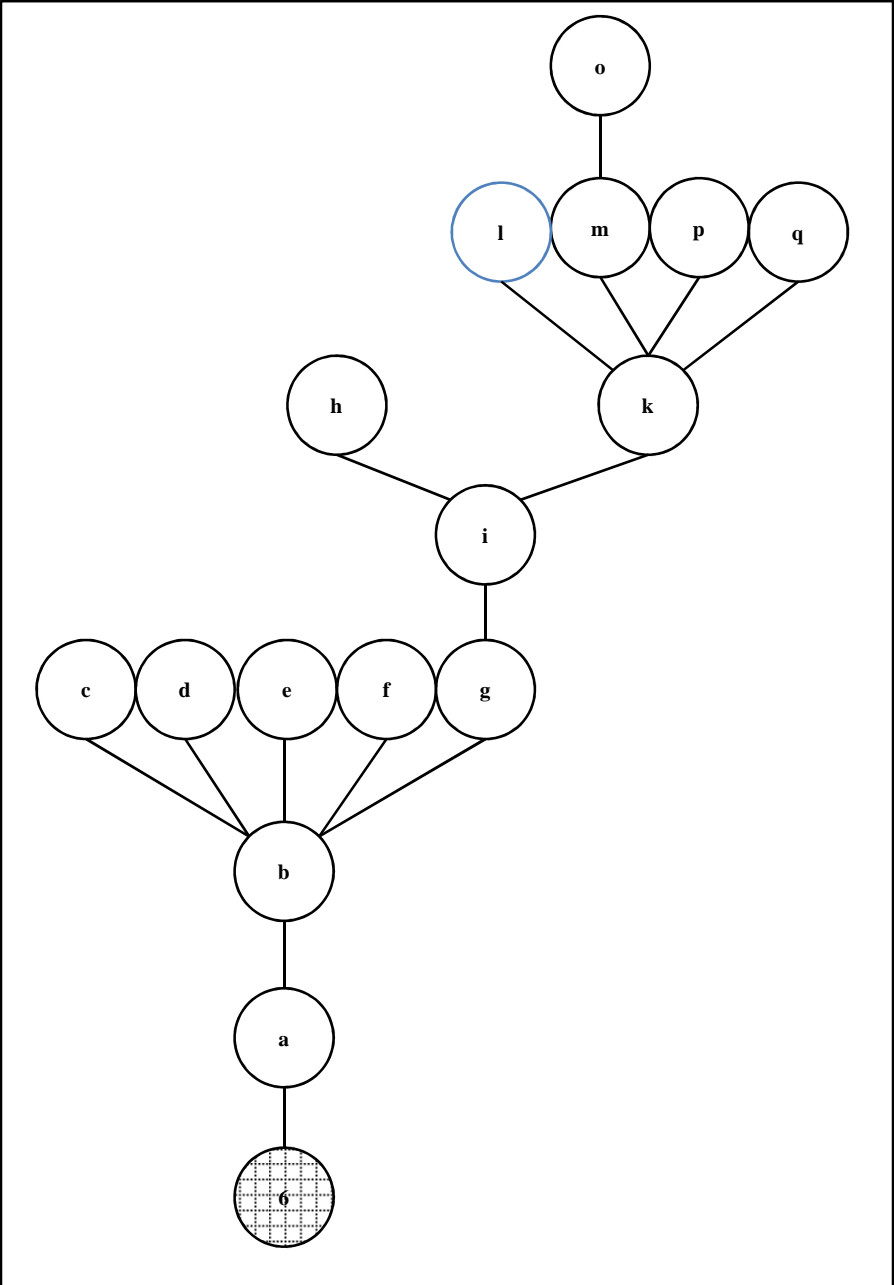
*DOMUS POMPEIANA 6 15, 6*



Planimetria della *domus*  
(rielaborazione dell'immagine SAMPAOLO 1994, p. 622)



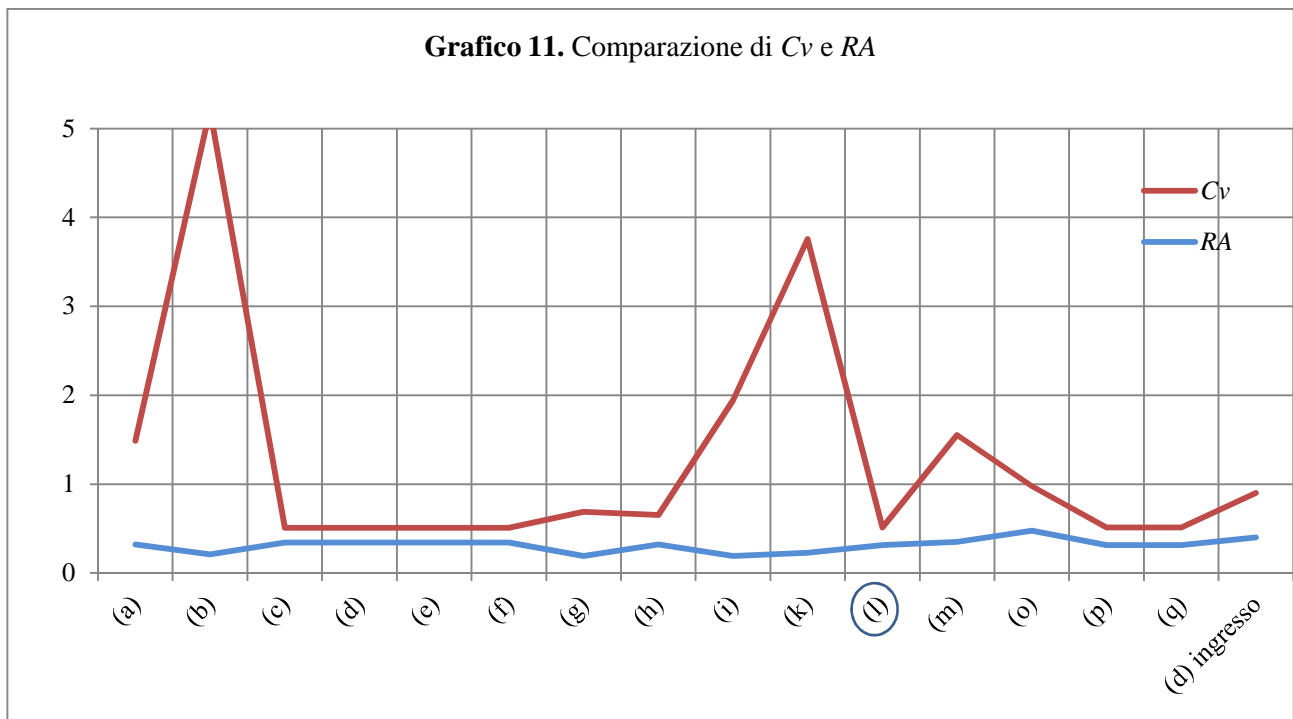
*Access map*



Pianta «giustificata»

**Tabella 12.** Valori di *Control value*, *mean Depth* e *relative Asymmetry*:

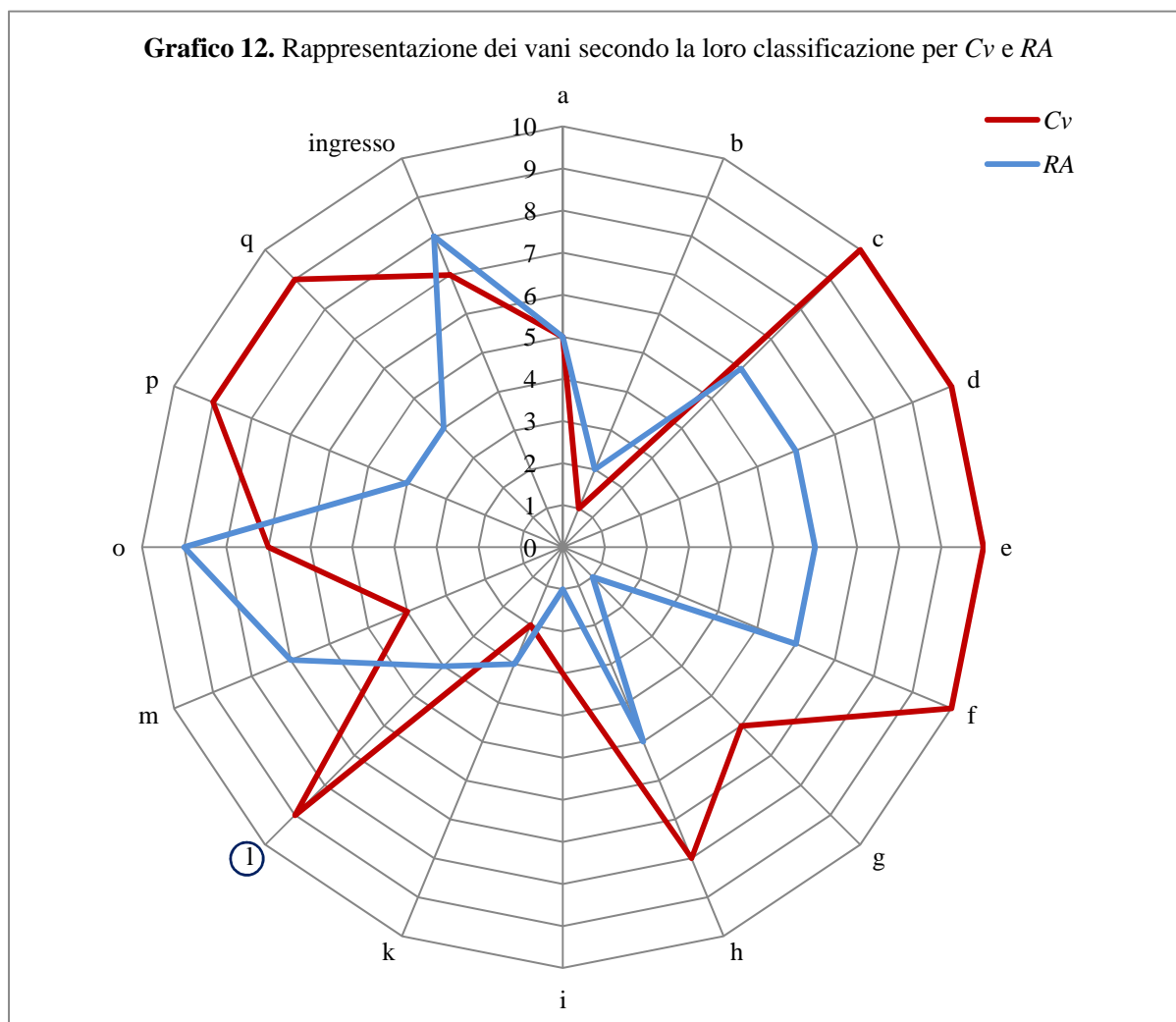
Vano	<i>Cv</i>	<i>MD</i>	<i>RA</i>
<b>a</b>	1,166(7)	3,26	0,323
<b>b</b>	5	2,46	0,209
<b>c</b>	0,166(7)	3,4	0,342
<b>d</b>	0,166(7)	3,4	0,342
<b>e</b>	0,166(7)	3,4	0,342
<b>f</b>	0,166(7)	3,4	0,342
<b>g</b>	0,50(0003)	2,33	0,190
<b>h</b>	0,33	3,26	0,323
<b>i</b>	1,75	2,33	0,190
<b>k</b>	3,53	2,6	0,228
<b>l</b>	0,2	3,2	0,314
<b>m</b>	1,2	3,46	0,352
<b>o</b>	0,5	4,33	0,476
<b>p</b>	0,2	3,2	0,314
<b>q</b>	0,2	3,2	0,314
<b>(d) ingresso</b>	0,5	3,8	0,4



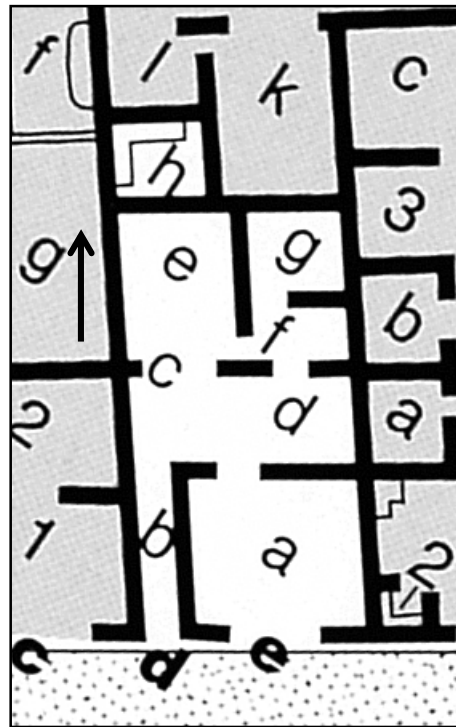
**Tabella 13.** Classifiche dei vani a seconda dei loro *Cv* e *RA*:

Ambiente : <i>Cv</i>	Posizione	Ambiente : <i>RA</i>
b (5)	<b>1</b>	g, i (0,19047)
k (3,53)	<b>2</b>	b (0,20952)
i (1,75)	<b>3</b>	k (0,2285)
m (1,2)	<b>4</b>	<b>l, p, q</b> (0,3142)
a (1,166)	<b>5</b>	a, h (0,3238)
g (0,5)	<b>6</b>	c, d, e, f (0,3428)
o, ingresso (0,5)	<b>7</b>	m (0,352)
h (0,33)	<b>8</b>	ingresso (04)
<b>l, p, q</b> (0,2)	<b>9</b>	o (0,476)
c, d, e, f (0,166)	<b>10</b>	

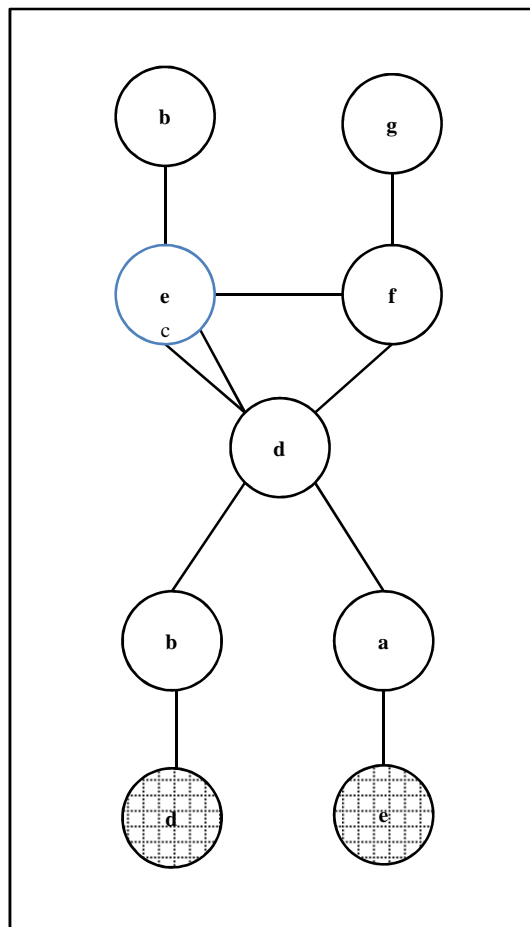
**Grafico 12.** Rappresentazione dei vani secondo la loro classificazione per *Cv* e *RA*



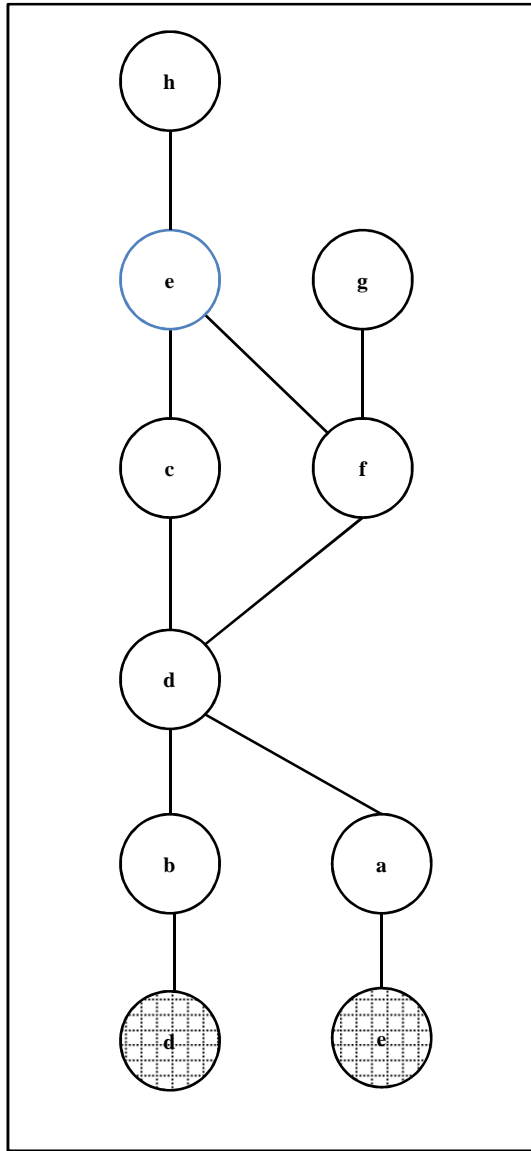
*DOMUS POMPEIANA 96, d-e*



Planimetria della *domus*  
(rielaborazione dell'immagine BRAGANTINI 1999 b, p. 722)



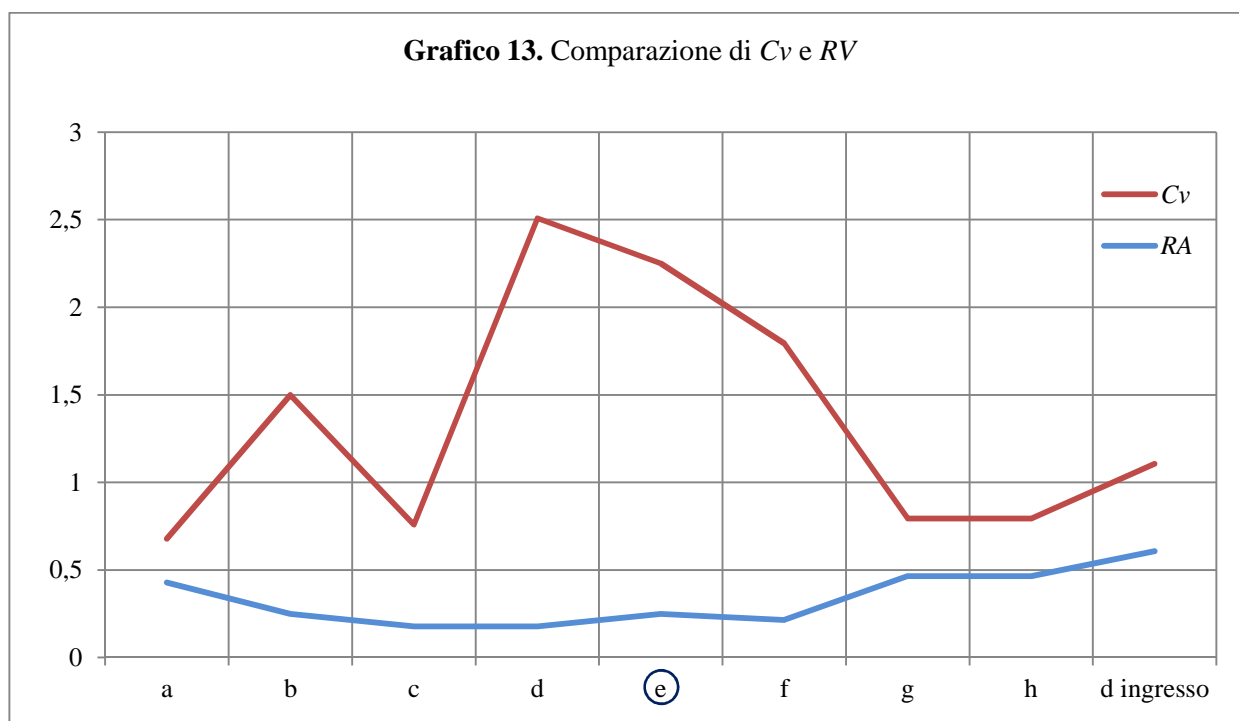
*Access map*



Pianta «giustificata»

**Tabella 14.** Valori di *Control value*, *mean Depth* e *relative Asymmetry*:

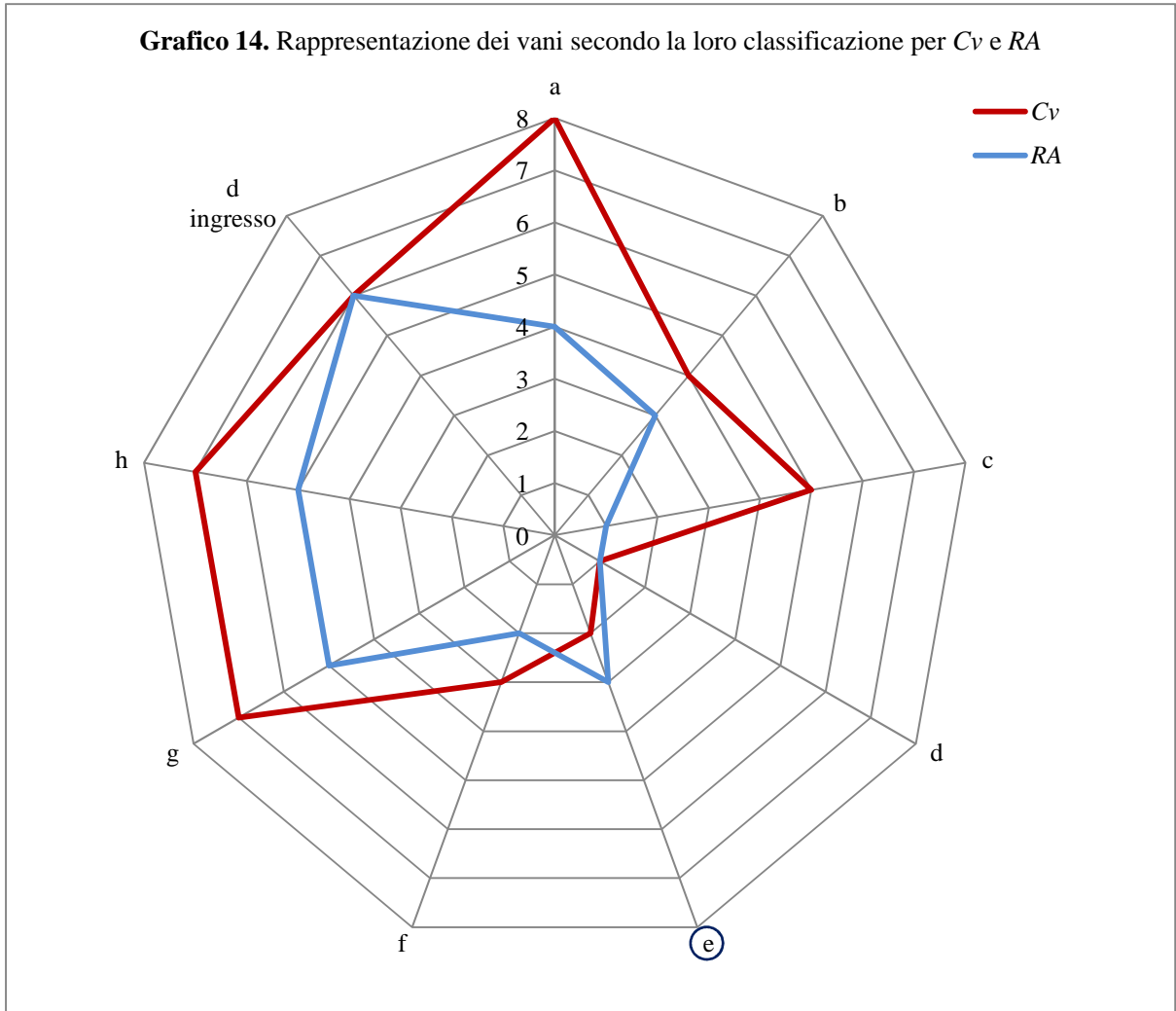
Vano	<i>Cv</i>	<i>MD</i>	<i>RA</i>
(a)	0,25	3	0,4285
(b)	1,25	1,75	0,25
(c)	0,58	1,25	0,1785
(d)	2,33	1,25	0,1785
(e)	2	1,75	0,25
(f)	1,58	1,5	0,2142
(g)	0,33	3,25	0,4642
(h)	0,33	3,25	0,4642
(d) ingresso	0,5	4,24	0,6071



**Tabella 15.** Classifiche dei vani a seconda dei loro *Cv* e *RA*:

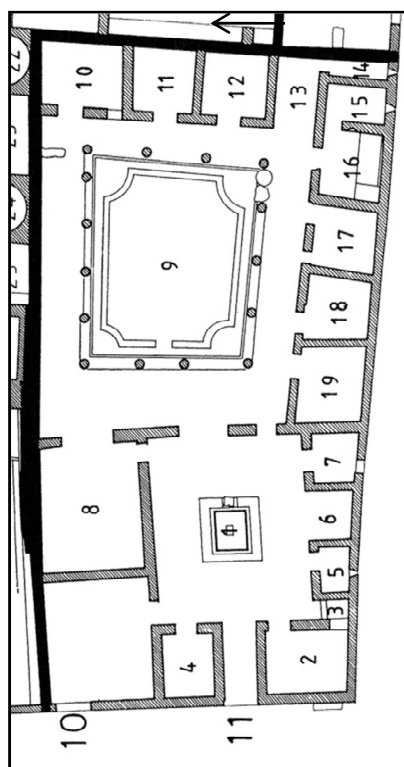
Ambiente : <i>Cv</i>	Posizione	Ambiente : <i>RA</i>
d (2,33)	1	c, d (0,1785)
e (2)	2	f (0,2142)
f (1,58)	3	b, e (0,25)
b (1,25)	4	a (0,4285)
c (0,58)	5	g, h (0,4642)
d ingresso (0,50)	6	d ingresso (0,6071)
g, h (0,33)	7	
a (0,25)	8	

**Grafico 14.** Rappresentazione dei vani secondo la loro classificazione per  $C_v$  e  $RA$

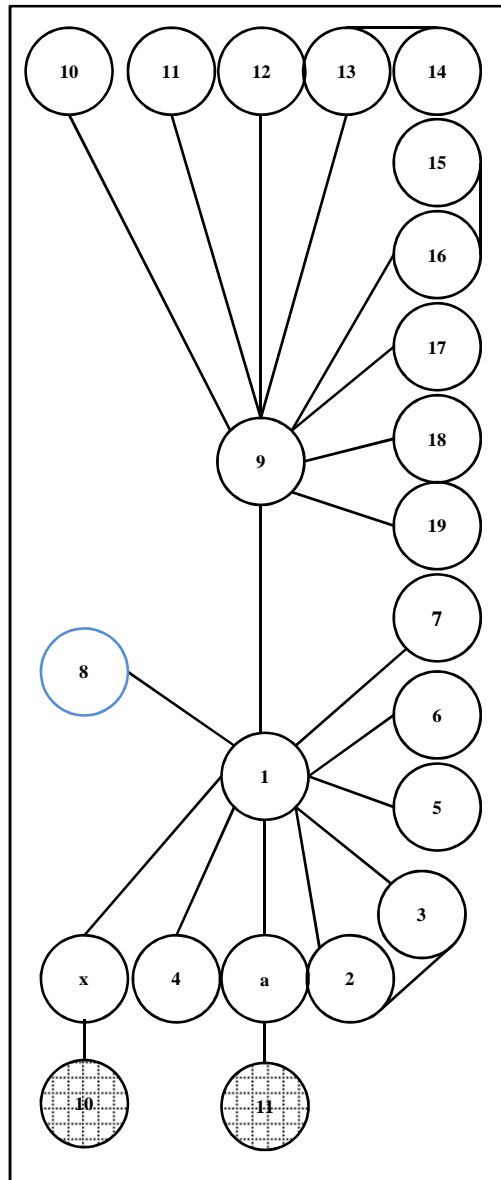




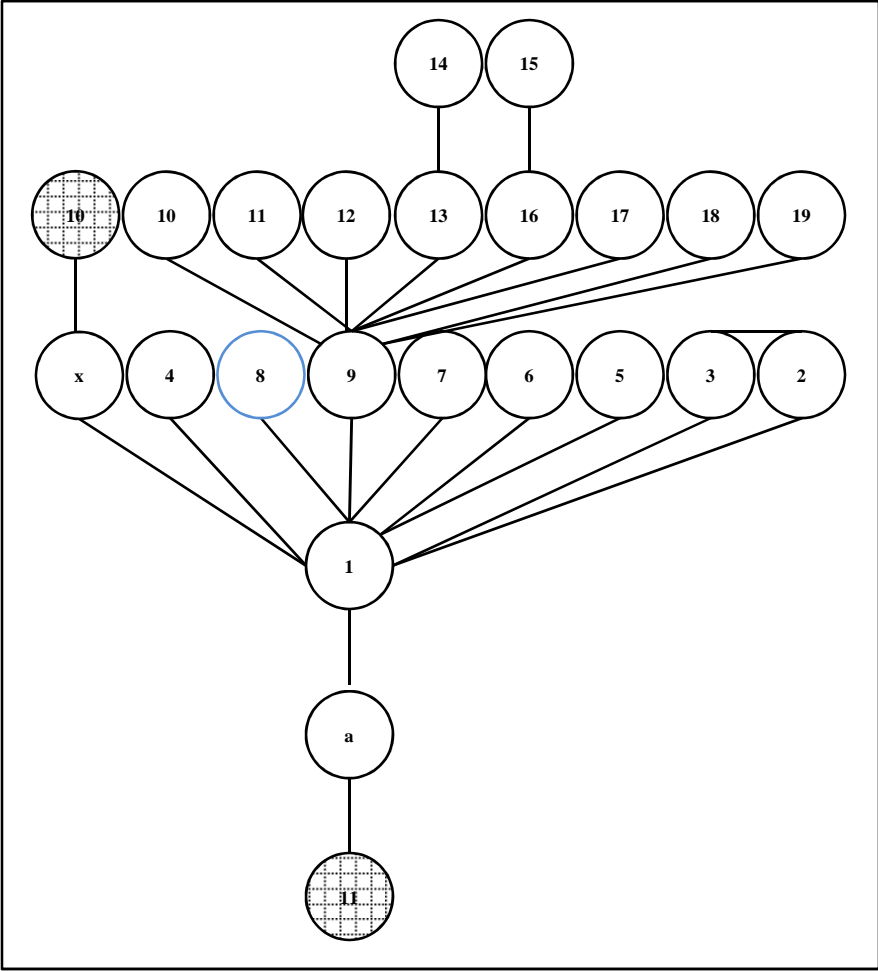
CASA DEGLI AMANTI, POMPEI 10, 11



Planimetria della *domus*  
(rielaborazione dell'immagine LING, LING 2005, p. 323, fig. 1)



*Access map*

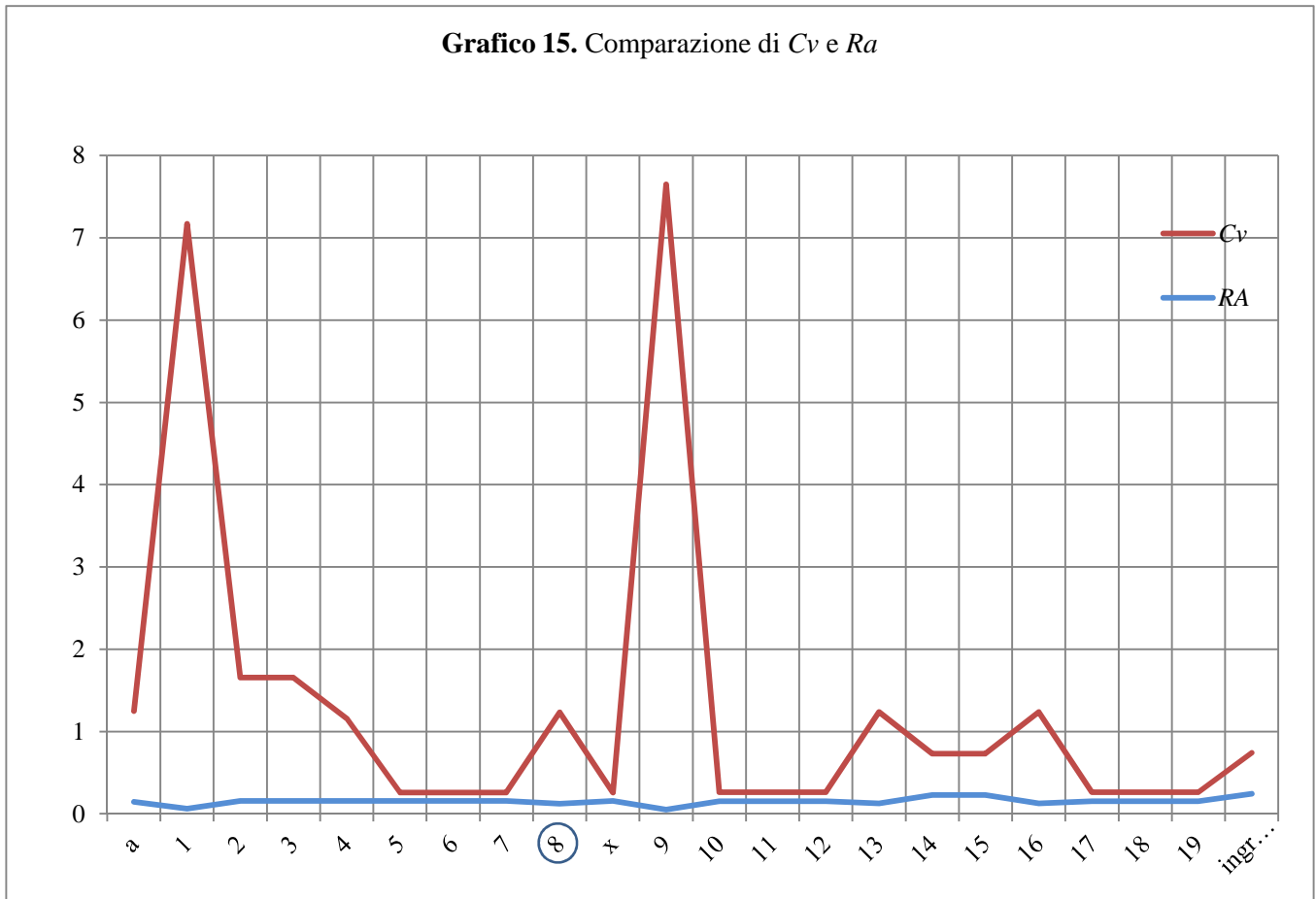


Pianta «giustificata»

**Tabella 16.** Valori di *Control value*, *mean Depth* e *relative Asymmetry*:

<b>Vano</b>	<b>Cv</b>	<b>MD</b>	<b>RA</b>
(a)	1,1	2,95	0,147
(1)	7,11	1,23	0,061
(2)	1,5	2,57	0,157
(3)	1,5	2,57	0,157
(4)	01,	2,57	0,157
(5)	0,1	2,57	0,157
(6)	0,1	2,57	0,157
(7)	0,1	2,57	0,157
(8)	1,11	2,23	0,123
(x)	0,1	2,57	0,157
(9)	7,6	1,57	0,05
(10)	0,11	2,52	0,152
(11)	0,11	2,52	0,152
(12)	0,11	2,52	0,152
(13)	1,11	2,28	0,128
(14)	0,5	3,38	0,23
(15)	0,5	3,38	0,23
(16)	1,11	2,28	0,128
(17)	0,11	2,52	0,152
(18)	0,11	2,52	0,152
(19)	0,11	2,52	0,152
<b>(11) ingresso</b>	0,50	4,85	0,242

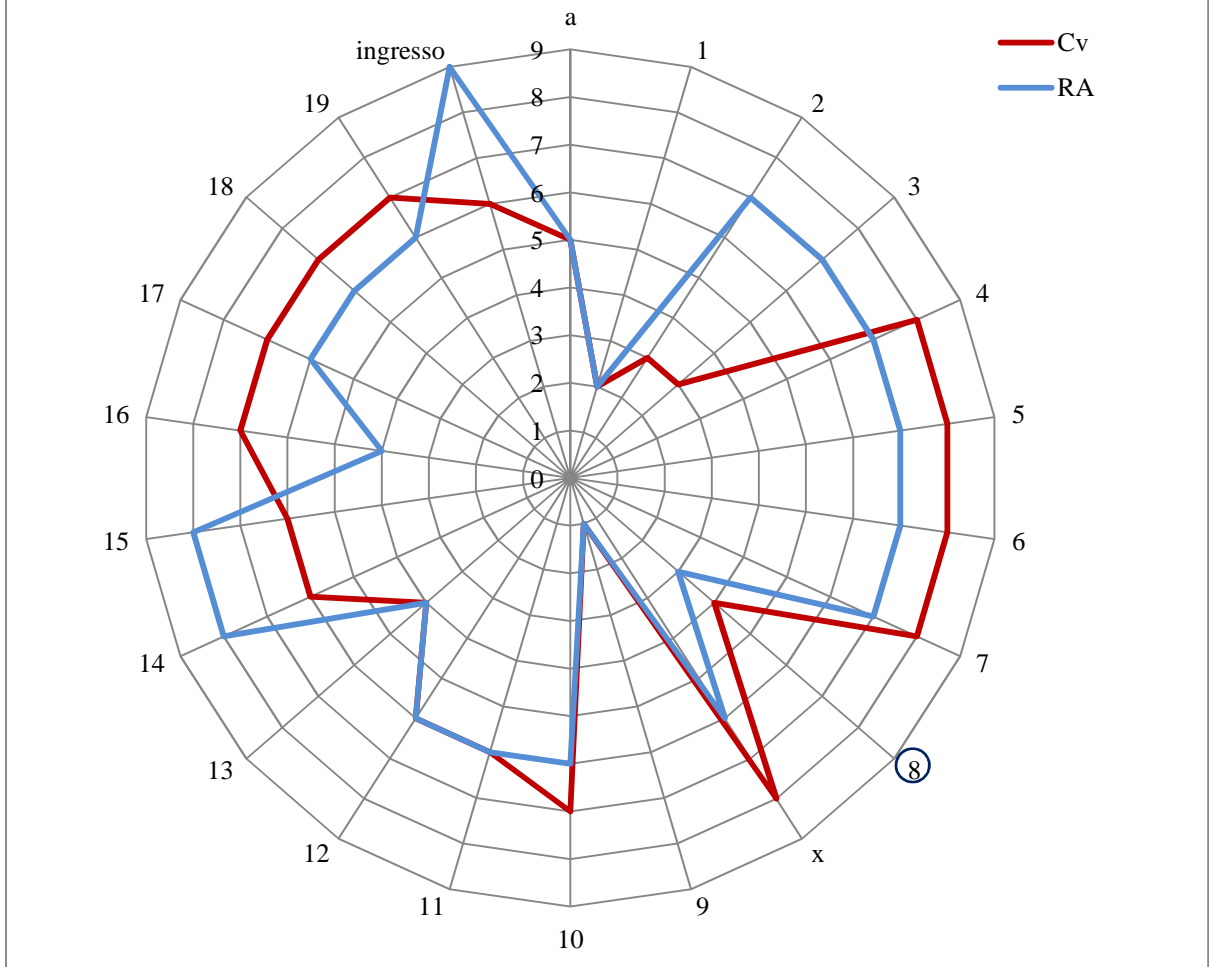
**Grafico 15. Comparazione di Cv e Ra**



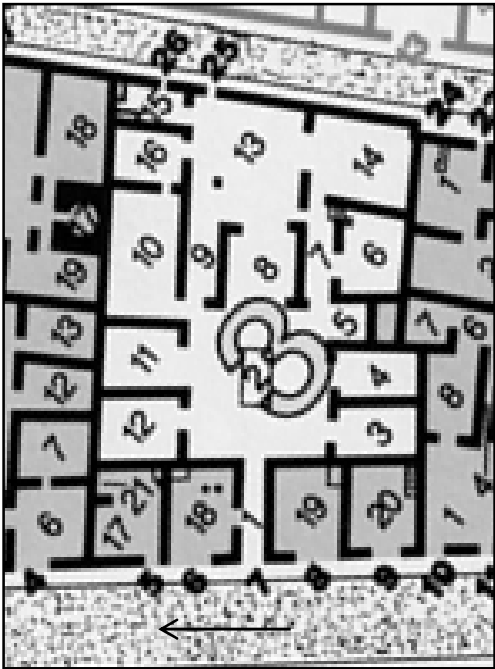
**Tabella 17. Classifiche dei vani a seconda dei loro Cv e RA:**

Ambiente : Cv	Posizione	Ambiente : RA
(9) (7,6)	<b>1</b>	(9) (0,05)
(1) (7,11)	<b>2</b>	(1) (0,061)
(2-3) (1,5)	<b>3</b>	<b>(8)</b> (0,104)
<b>(8)</b> , (13), (16) (1,11)	<b>4</b>	(13), (16) (0,128)
(a) (1,1)	<b>5</b>	(a) (0,147)
(14-15), (11 ingresso) (0,5)	<b>6</b>	(10-12), (17-19) (0,1523)
(10-12), (17-19) (0,11)	<b>7</b>	(2-7), (x) (0,1571)
(4-7), (x) (0,1)	<b>8</b>	(14-15) (0,230)
	<b>9</b>	(11 ingresso) (0,242)

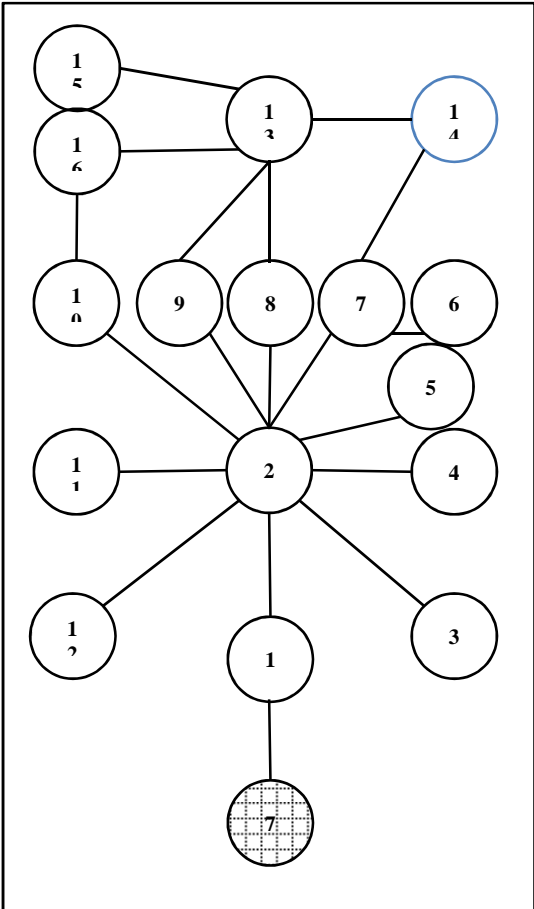
**Grafico 16.** Rappresentazione dei vani secondo la loro classificazione per Cv e RA



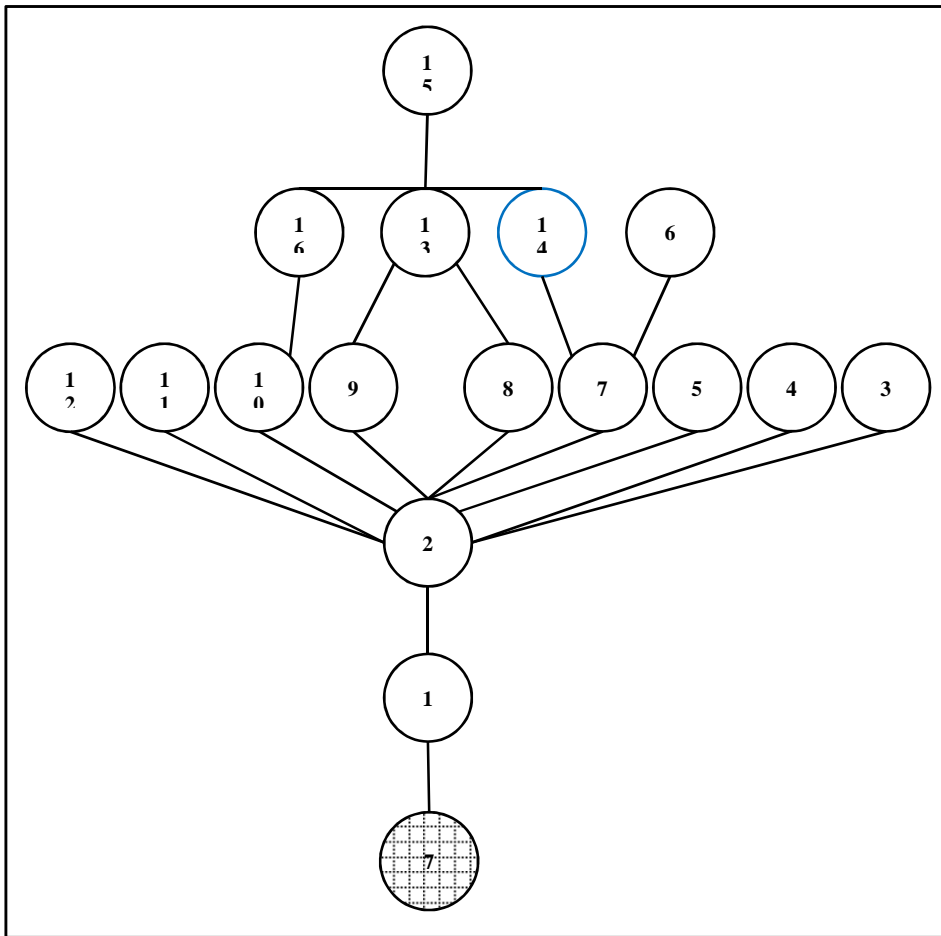
CASA DELL'ACCADEMIA DELLA MUSICA, POMPEI 6 3, 7



Planimetria della *domus*  
 (rielaborazione dell'immagine SAMPAOLO 1993 a, p. 278)



Access map

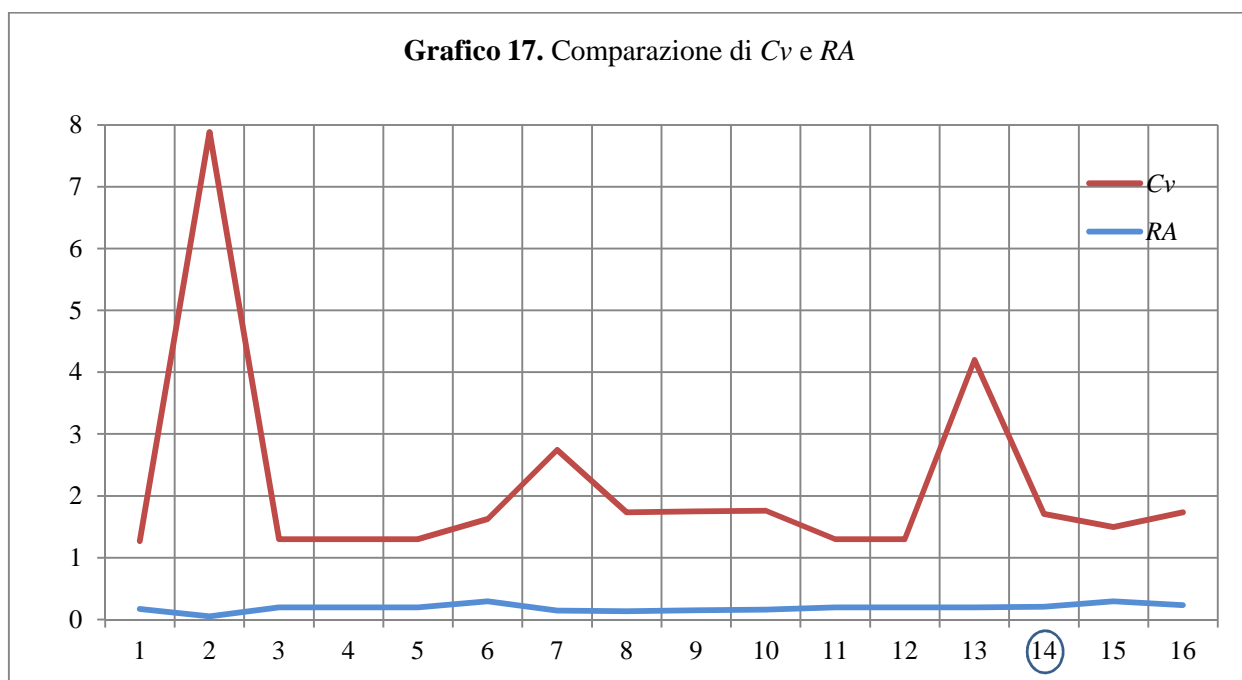


Pianta «giustificata»



**Tabella 18.** Valori di *Control value*, *mean Depth* e *relative Asymmetry*:

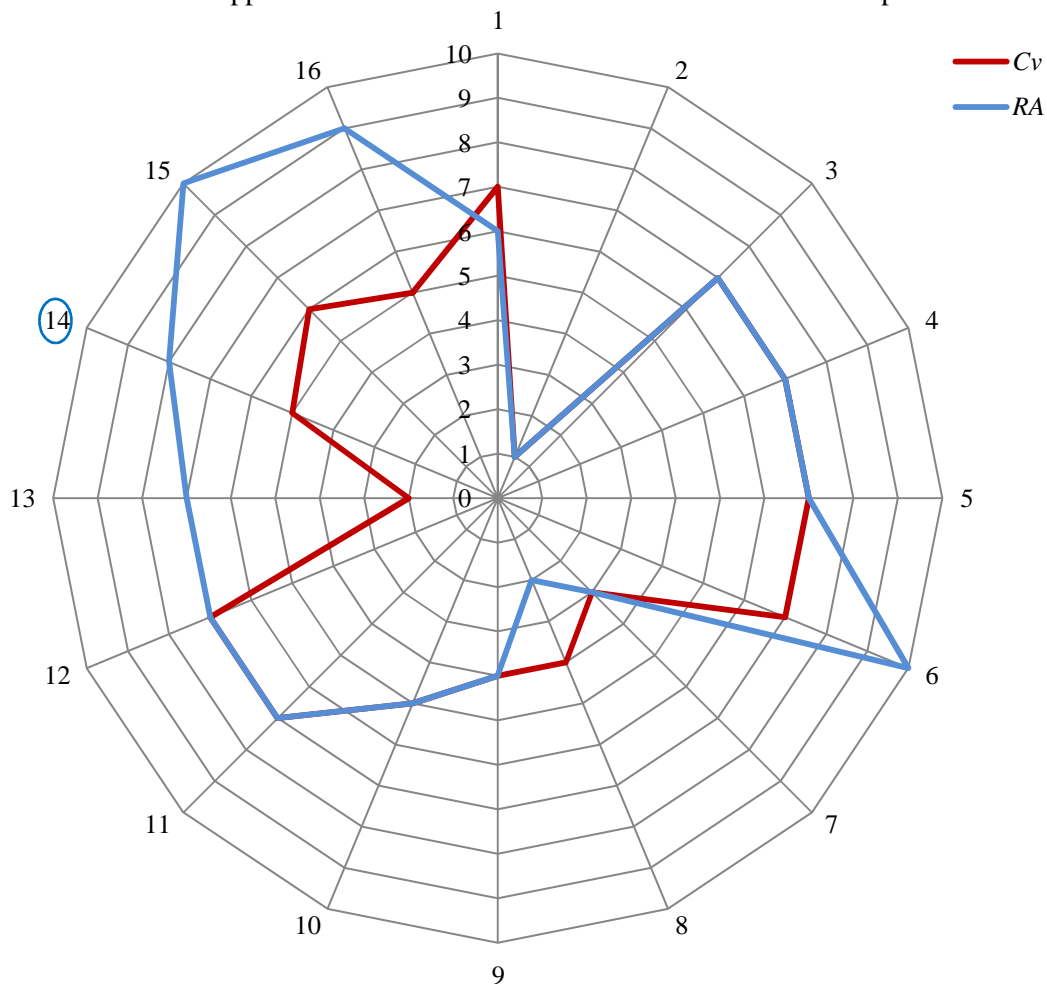
Vano	<i>Cv</i>	<i>MD</i>	<i>RA</i>
(1)	1,1	2,187	0,169
(2)	7,83	1,375	0,053
(3)	1,1	2,375	0,196
(4)	1,1	2,375	0,196
(5)	1,1	2,375	0,196
(6)	1,33	3,062	0,294
(7)	2,6	2	0,142
(8)	1,6	1,937	0,133
(9)	1,6	2,062	0,151
(10)	1,6	2,125	0,160
(11)	1,1	2,125	0,196
(12)	1,1	2,125	0,196
(13)	4	2,125	0,196
(14)	1,5	2,437	0,205
(15)	1,2	3,062	0,294
(16)	1,5	2,625	0,231



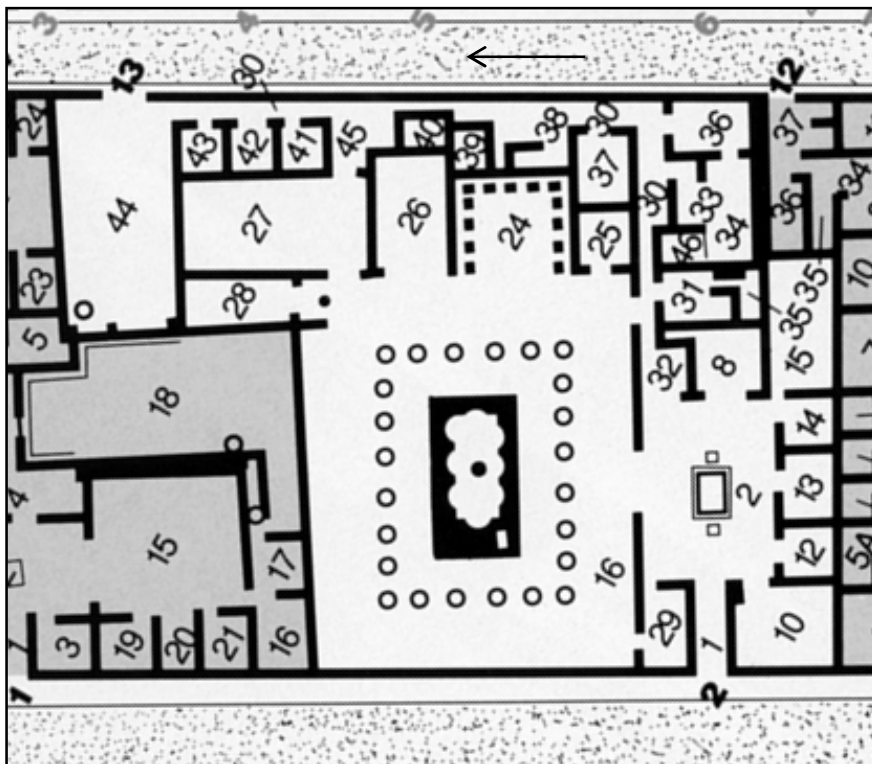
**Tabella 19.** Classifiche dei vani secondo i loro  $C_v$  e  $RA$ :

Ambiente : $C_v$	Posizione	Ambiente : $RA$
(2) (7,83)	<b>1</b>	(8) (0,1339)
(13) (4)	<b>2</b>	(7) (0,1428)
(7) (2,60)	<b>3</b>	(9) (0,1517)
(8)-(10) (1,60)	<b>4</b>	(10) (0,1964)
(14)-(15) (1,50)	<b>5</b>	(1) (0,2091)
(15) (1,20)	<b>6</b>	(3), (4)-(5), (10)-(13) (0,1964)
(1), (3)-(6), (11), (12) (1,10)	<b>7</b>	(14) (0,2053)
	<b>8</b>	(16) (0,2321)
	<b>9</b>	(6), (15) (0,2946)
	<b>10</b>	(2) (0,0535)

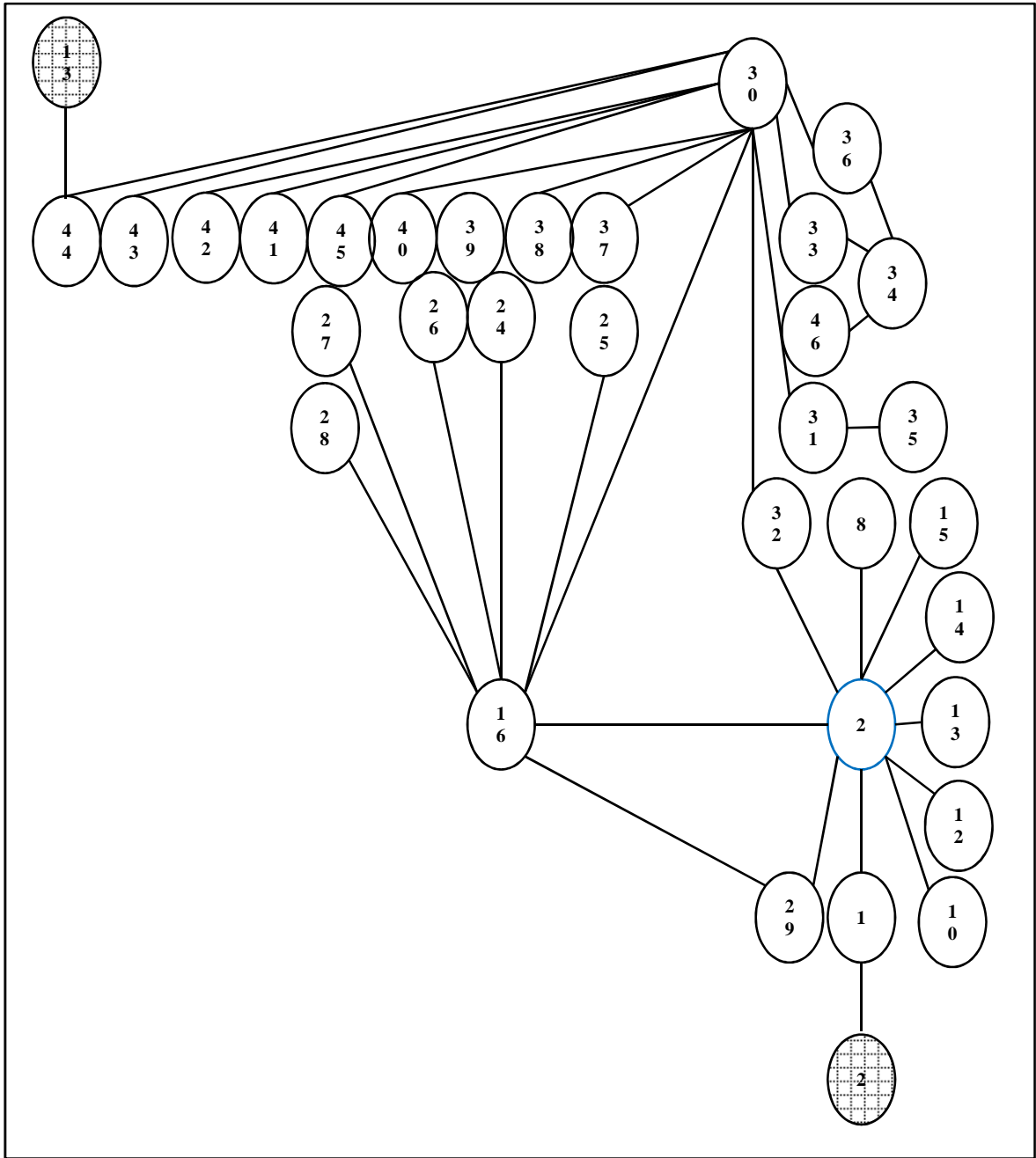
**Grafico 18.** Rappresentazione dei vani secondo la loro classificazione per  $C_v$  e  $RA$



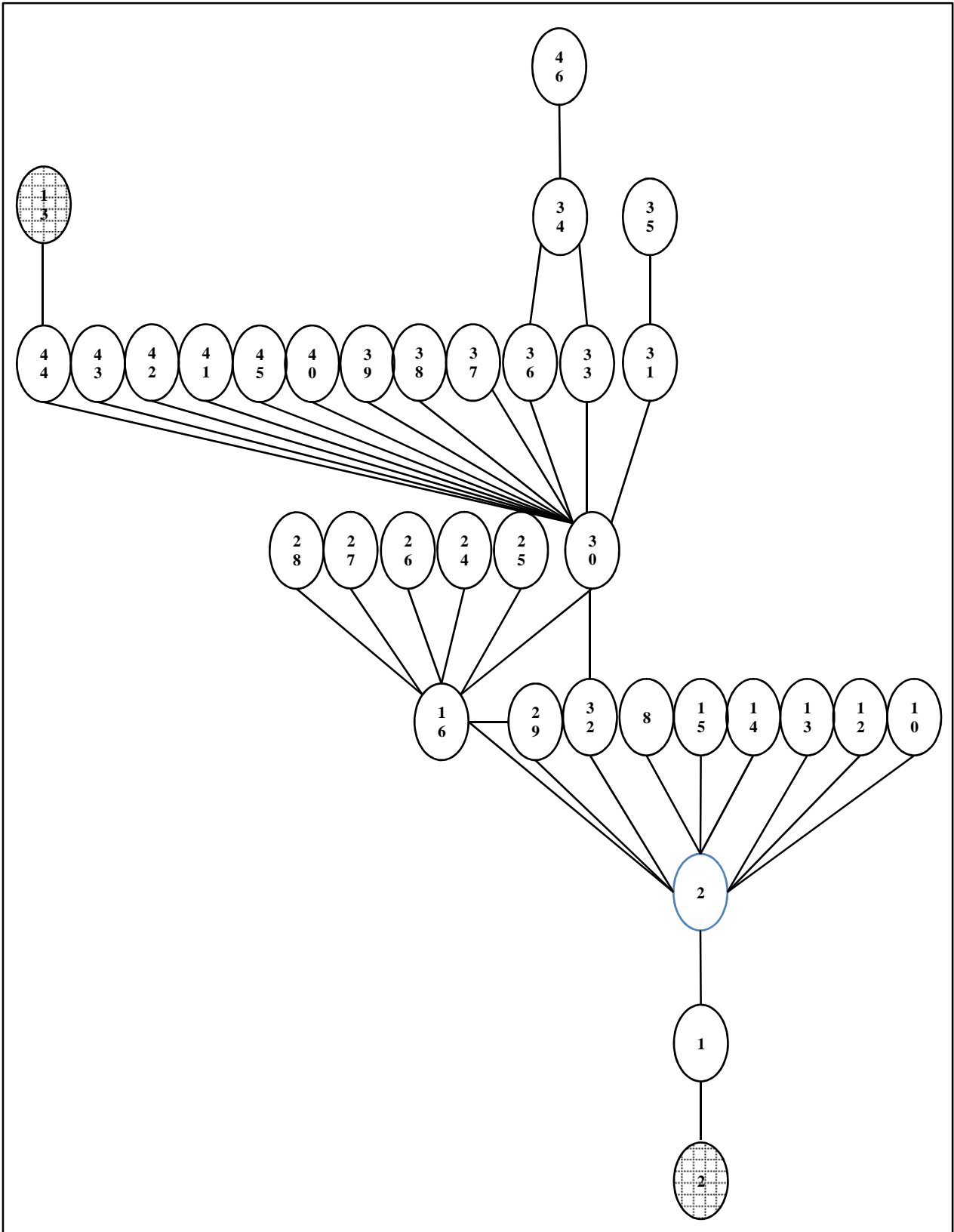
CASA DI MELEAGRO, POMPEI 6 9, 2, 13



Planimetria della *domus*  
(rielaborazione dell'immagine BRAGANTINI 1993 b, p. 660)



Access map

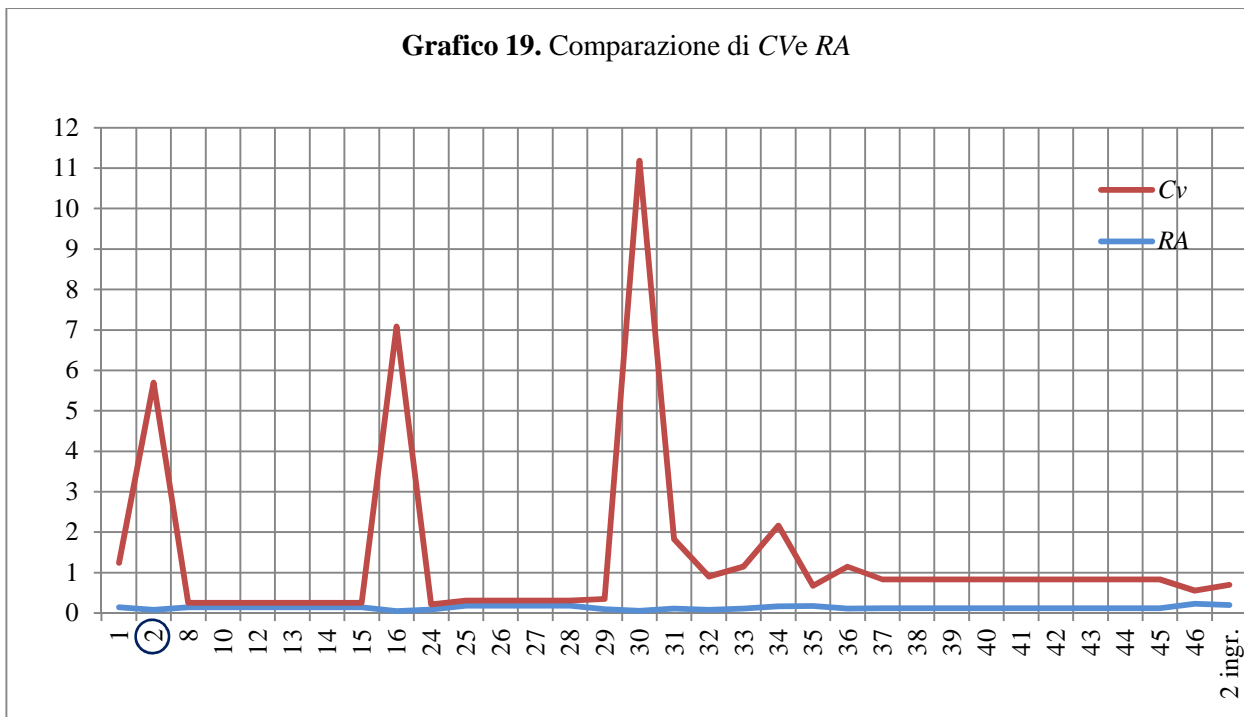


Pianta «giustificata»

**Tabella 20.** Valori di *Control value*, *mean Depth* e *relative Asymmetry*:

Vano	(Cv)	(MD)	(RA)
(1)	1,10	3,187	0,141
(2)	5,62	2,281	0,082
(8) / (10) / (12)-(15)	0,11	3,25	0,145
(16)	7,03	1,781	0,050
(24)-(28)	0,125	2,656	0,106
(29)	0,25	2,562	0,1
(30)	11,125	1,875	0,056
(31)	1,7142	2,781	0,114
(32)	0,825	2,25	0,080
(33)	1,04	2,718	0,11
(34)	2	3,562	0,165
(35)	0,5	3,75	0,177
(36)	1,04	2,718	0,11
(37)-(45)	0,71	2,875	0,120
(46)	0,33	4,531	0,227
(2) ingr.	0,5	4,093	0,199

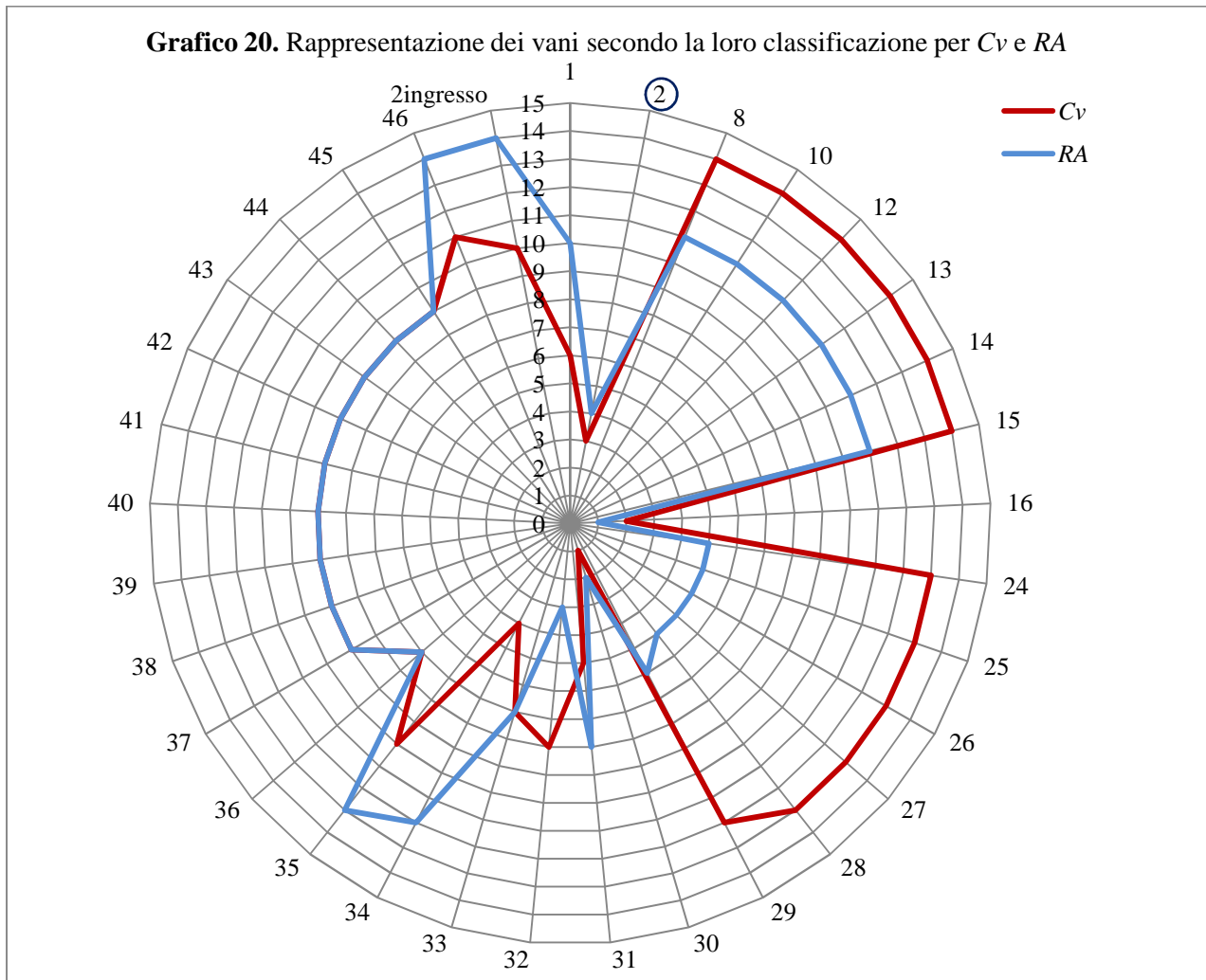
**Grafico 19.** Comparazione di *Cv* e *RA*



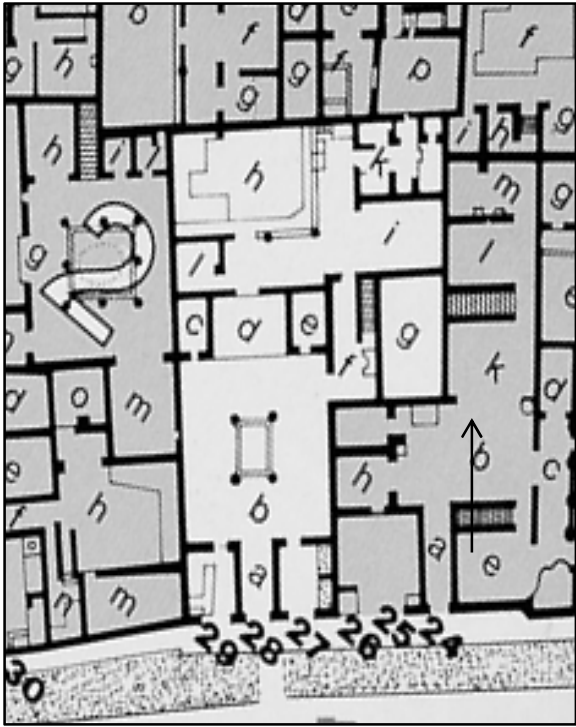
**Tabella 21.** Classifiche dei vani a seconda dei loro  $C_v$  e  $RA$ :

Ambiente : $C_v$	Posizione	Ambiente : $RA$
(30) (11,125)	<b>1</b>	(16) (0,05))
(16) (7,0395)	<b>2</b>	(30) (0,05645
(2) (5,625)	<b>3</b>	(32) (0,08)
(34) (2)	<b>4</b>	(2) (0,082)
(31) (1,7142)	<b>5</b>	(24)-(28) (0,0106)
(1) (1,10)	<b>6</b>	(29) (0,1)
(33), (36) (1,0475)	<b>7</b>	(33), (36) (0,11)
(32) (0,8253)	<b>8</b>	(31) (0,114)
(37)-(45) (0,7145)	<b>9</b>	(37)-(45) (0,120)
(2) ingresso, 35 (0,50)	<b>10</b>	(1) (0,141)
(46) (0,33)	<b>11</b>	(8), (10), (12)-(15), (0,145)
(29) (0,2539)	<b>12</b>	(34) (0,165)
(24)-(28) (0,125)	<b>13</b>	(35) (0,177)
(8), (10), (12)-(15) (0,111)	<b>14</b>	(2) ingresso (0,199)
	<b>15</b>	(46) (0,227)

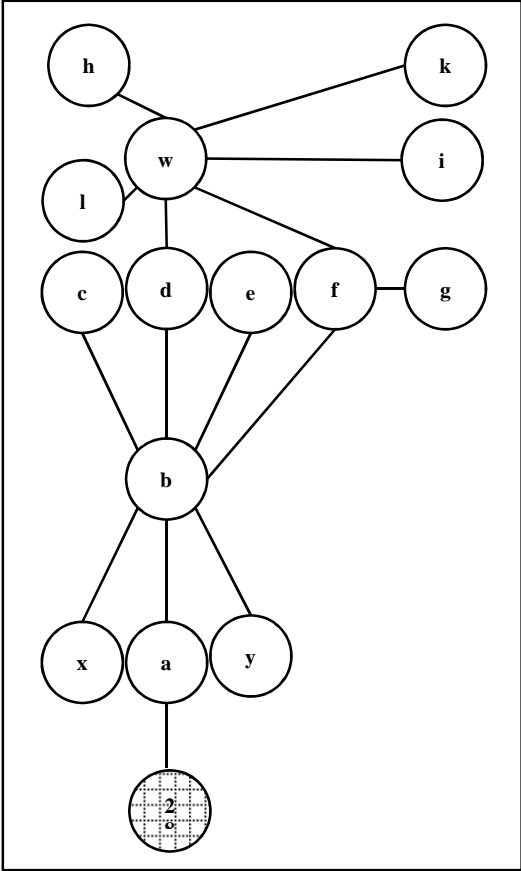
**Grafico 20.** Rappresentazione dei vani secondo la loro classificazione per  $C_v$  e  $RA$



CASA DELLA GRATA METALLICA, POMPEI 1 2, 28

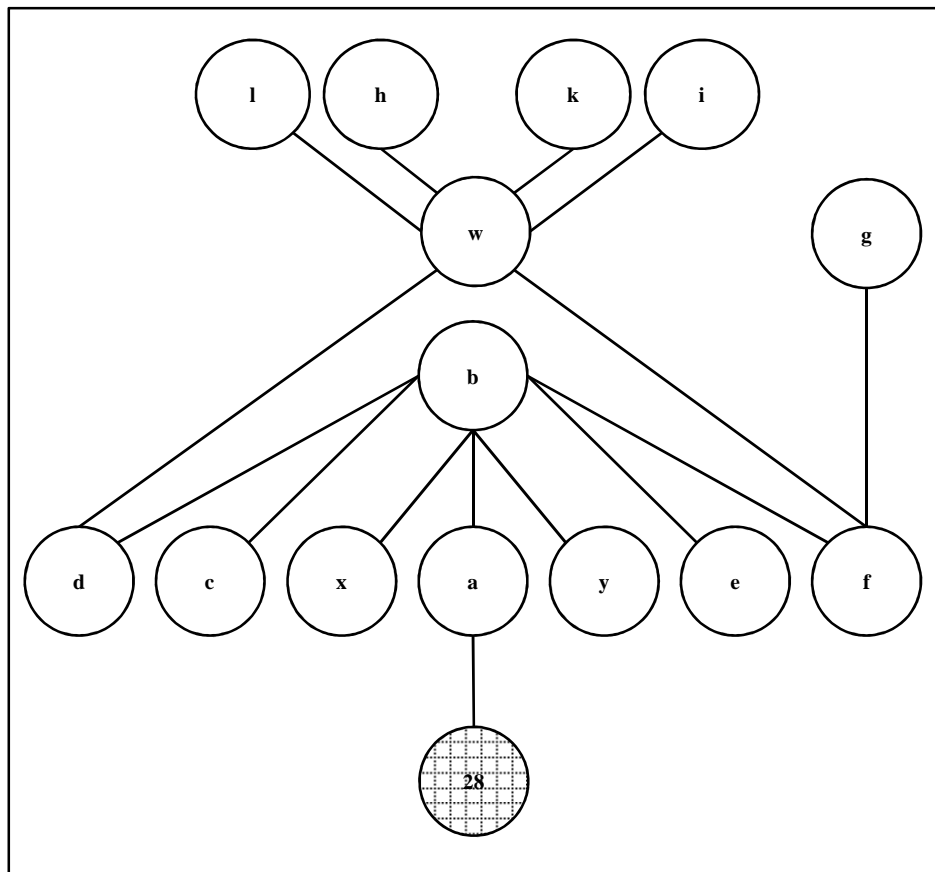


Planimetria della *domus*  
 (rielaborazione dell'immagine DE VOS 1990, p. 58)



Access map

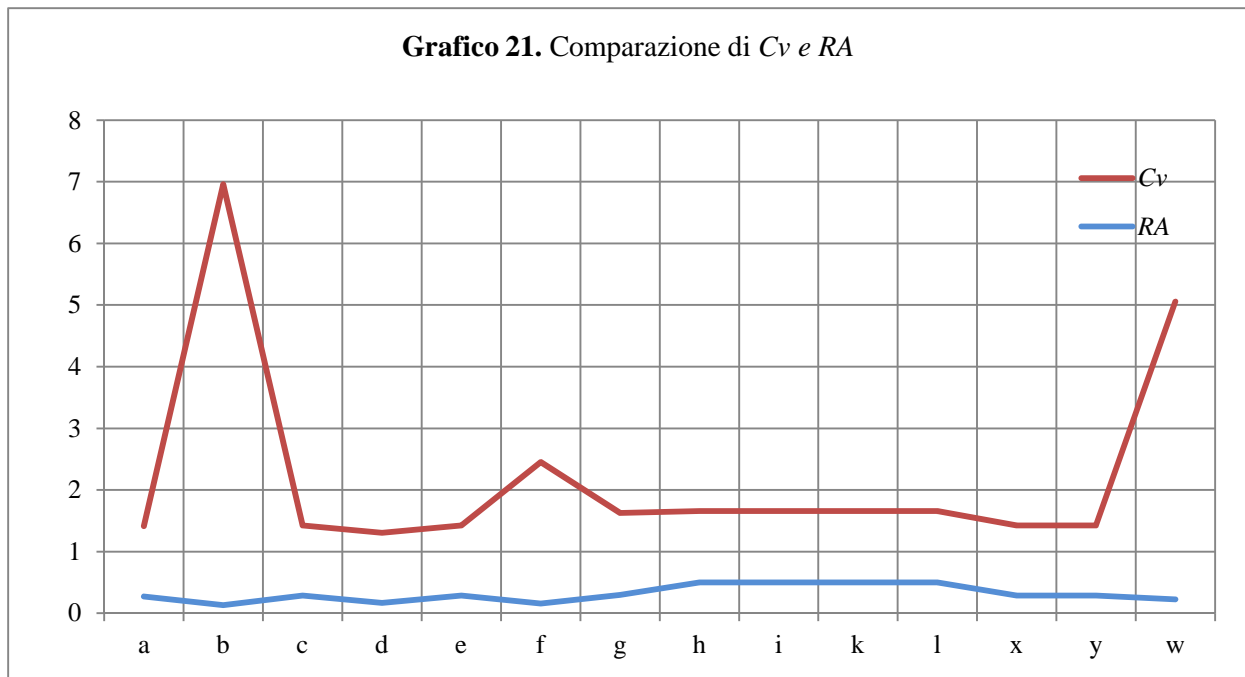




Pianta «giustificata»

**Tabella 22.** Control value, mean depth e Relative Asymmetry:

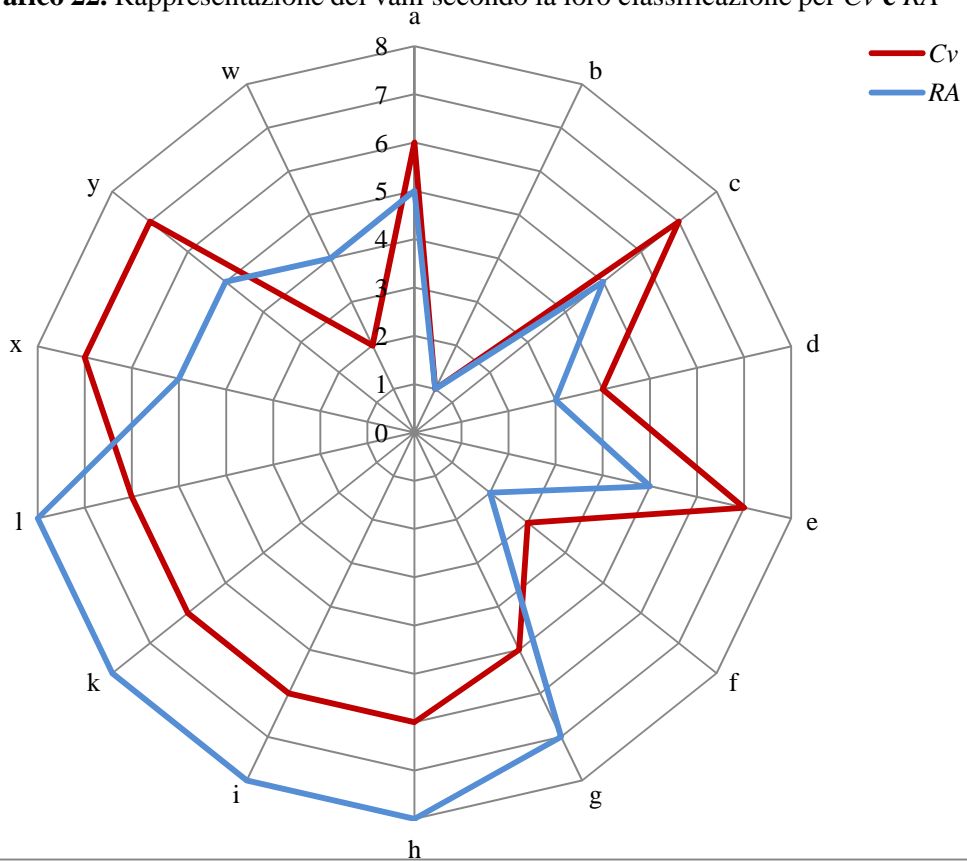
<b>Vano</b>	<b>Cv</b>	<b>MD</b>	<b>RA</b>
<b>a</b>	1,14	2,642	0,2738
<b>b</b>	6,83	1,785	0,1309
<b>c</b>	1,14	2,714	0,2857
<b>d</b>	1,14	2	0,1666
<b>e</b>	1,14	2,714	0,2857
<b>f</b>	2,30	1,928	0,1547
<b>g</b>	1,33	2,785	0,2976
<b>h</b>	1,16	3	0,5
<b>i</b>	1,16	3	0,5
<b>k</b>	1,16	3	0,5
<b>l</b>	1,16	3	0,5
<b>x</b>	1,14	2,714	0,2857
<b>y</b>	1,14	2,714	0,2857
<b>w</b>	4,83	2,357	0,2261



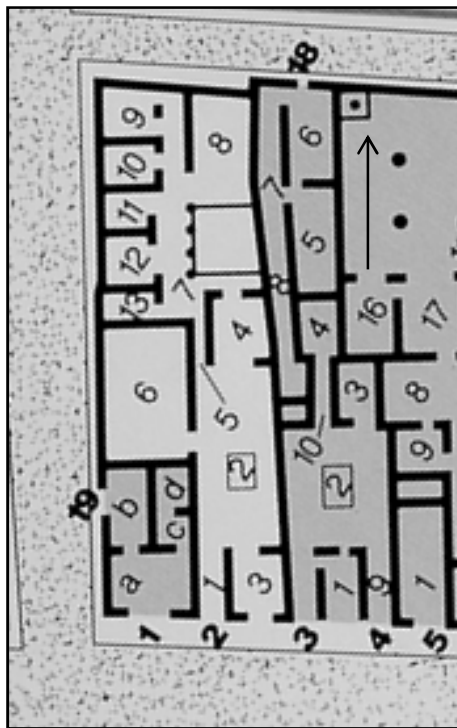
**Tabella 23.** Classifiche dei vani secondo i loro Cv e RA:

Ambiente : Cv	Posizione	Ambiente : RA
b (6,83)	<b>1</b>	b (0,1309)
w (4,83)	<b>2</b>	f (0,1547)
f (2,30)	<b>3</b>	d (0,1666)
g (1,33)	<b>4</b>	w (0, 2261)
d (1,30)	<b>5</b>	a (0,2738)
h, i, k, l (1,16)	<b>6</b>	c, e , x, y (0,2857)
a, c, e, x, y (1,14)	<b>7</b>	g (0,2976)
	<b>8</b>	h, i, k, l (0,5)

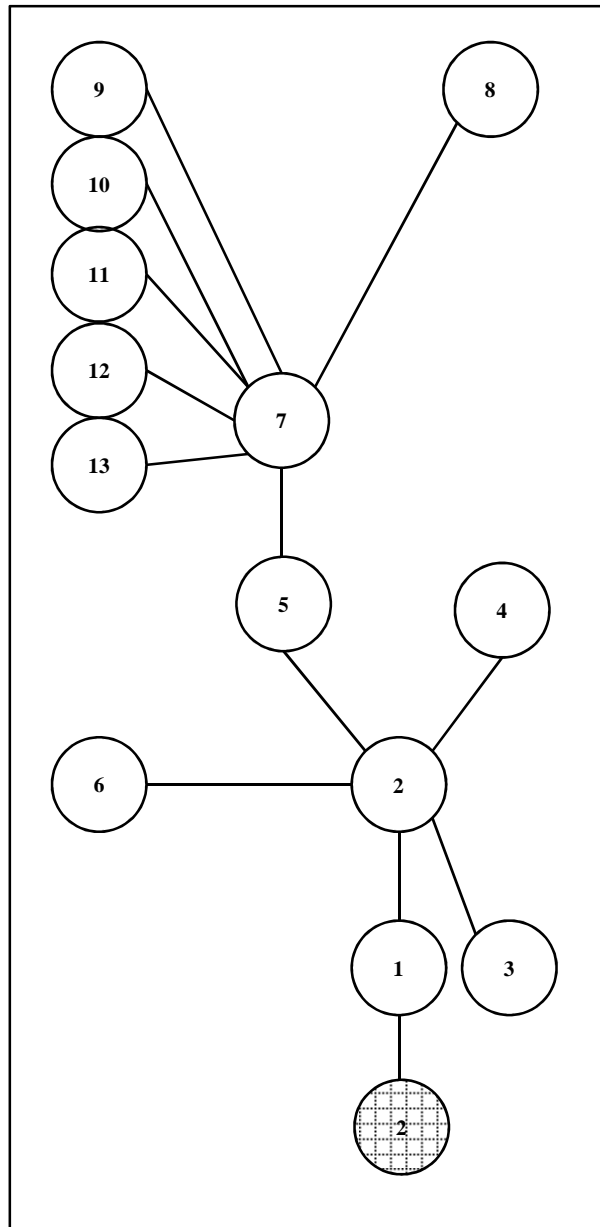
**Grafico 22.** Rappresentazione dei vani secondo la loro classificazione per *Cv* e *RA*



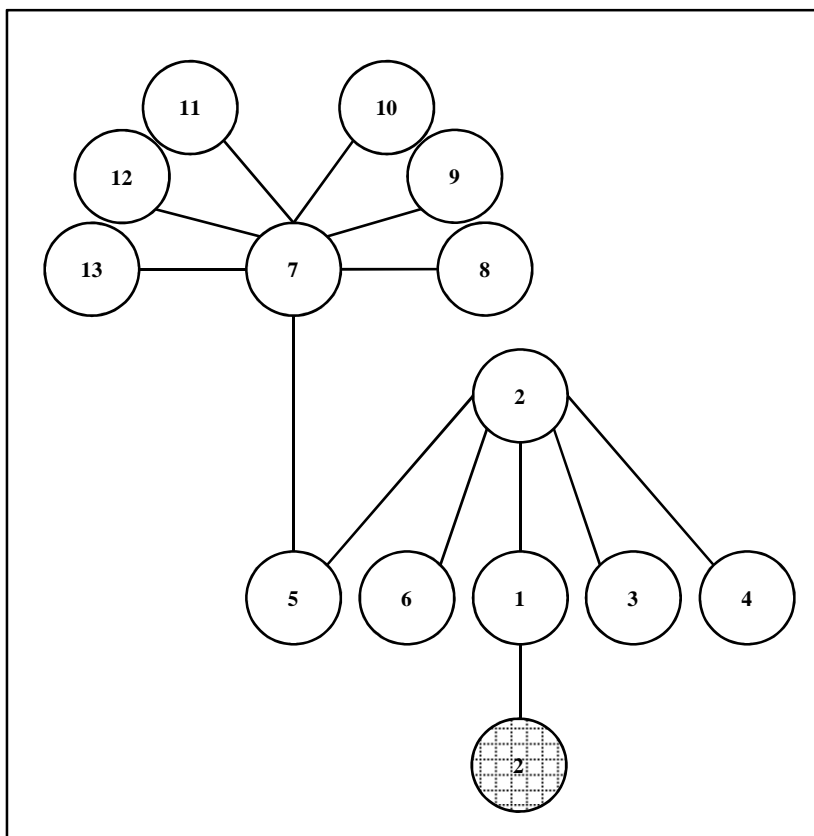
CASA DEI CINQUE SCHELETRI, POMPEI 6 10, 2



Planimetria della *domus*  
(rielaborazione dell'immagine SAMPAOLO 1993 c, p. 1029)



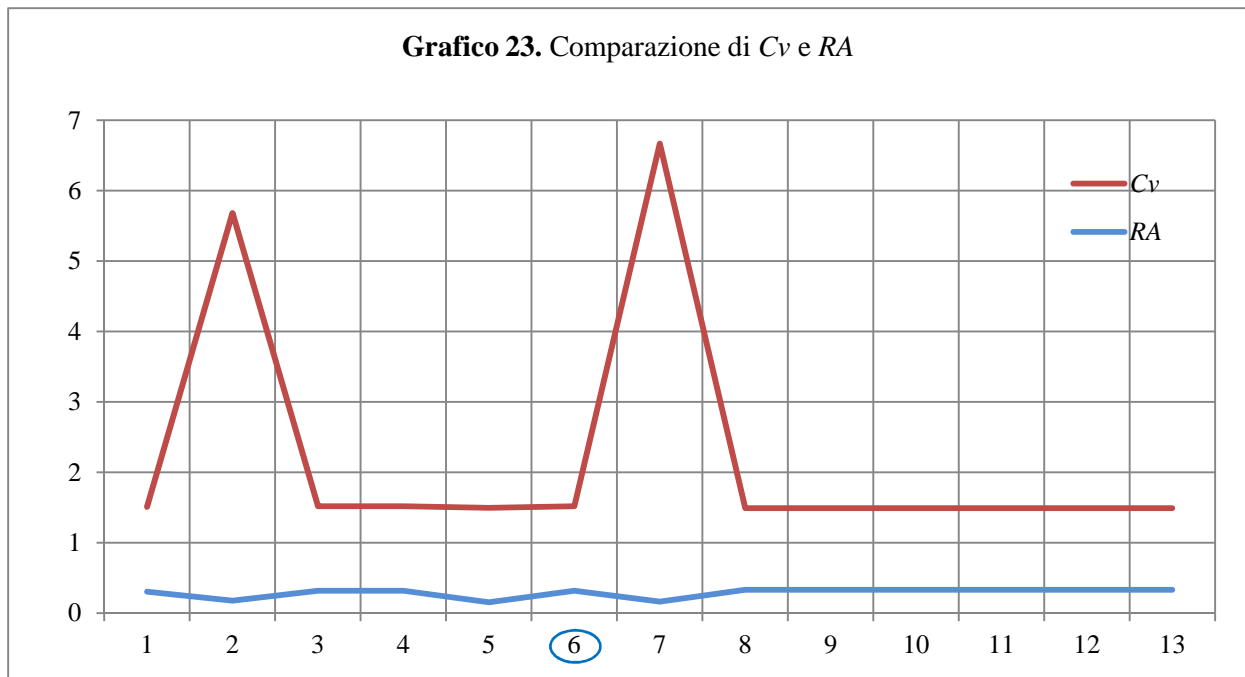
*Access map*



Pianta «giustificata»

**Tabella 24.** Control value, mean depth e relative Asymmetry:

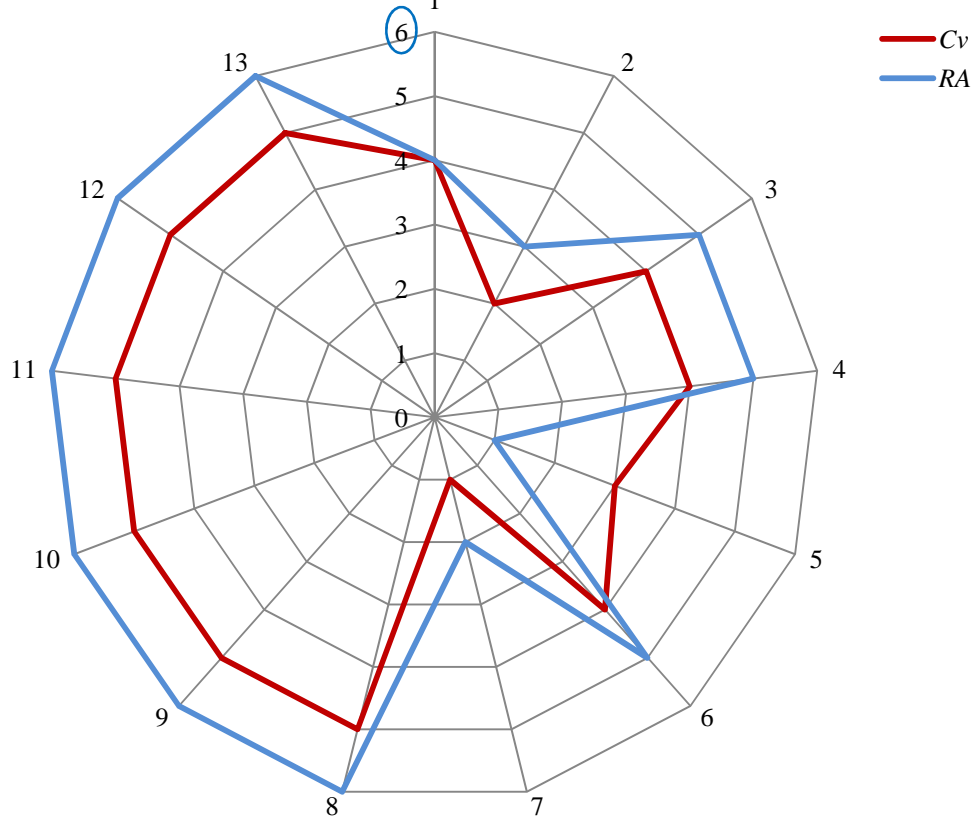
<b>Vano</b>	<b>Cv</b>	<b>MD</b>	<b>RA</b>
<b>(1)</b>	1,20	2,846	0,3076
<b>(2)</b>	5,50	2,076	0,1794
<b>(3)</b>	1,20	2,923	0,3205
<b>(4)</b>	1,20	2,923	0,3205
<b>(5)</b>	1,34	1,9230	0,1538
<b>(6)</b>	1,20	2,923	0,3205
<b>(7)</b>	6,50	2	0,1666
<b>(8)</b>	1,16	3	0,3333
<b>(9)</b>	1,16	3	0,3333
<b>(10)</b>	1,16	3	0,3333
<b>(11)</b>	1,16	3	0,3333
<b>(12)</b>	1,16	3	0,3333
<b>(13)</b>	1,16	3	0,3333



**Tabella 25.** Classifiche dei vani secondo i loro Cv e RA:

Ambiente : Cv	Posizione	Ambiente : RA
(7) (6,50)	<b>1</b>	(5) (0,1538)
(2) (5,50)	<b>2</b>	(7) (0,1666)
(5) (1,34)	<b>3</b>	(2) (0,1794)
(1, 3-4, <b>6</b> ) (1,20)	<b>4</b>	(1) (0,3076)
(8-13) (1,16)	<b>5</b>	(2-4, <b>6</b> ) (0,3205)
	<b>6</b>	(8-13) (0,3333)

**Grafico 24.** Rappresentazione dei vani secondo la loro classificazione per  $C_v$  e  $RA$

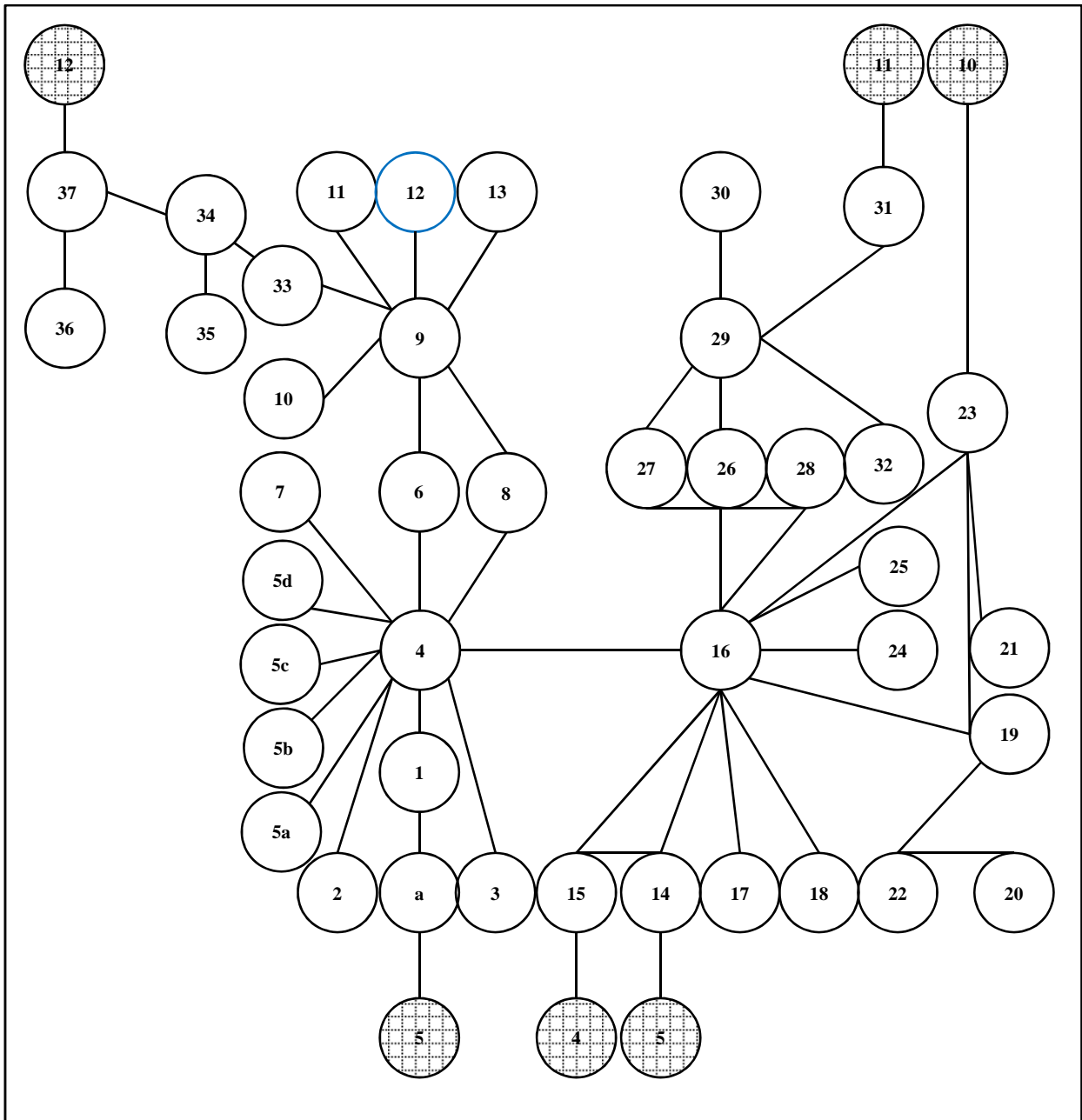




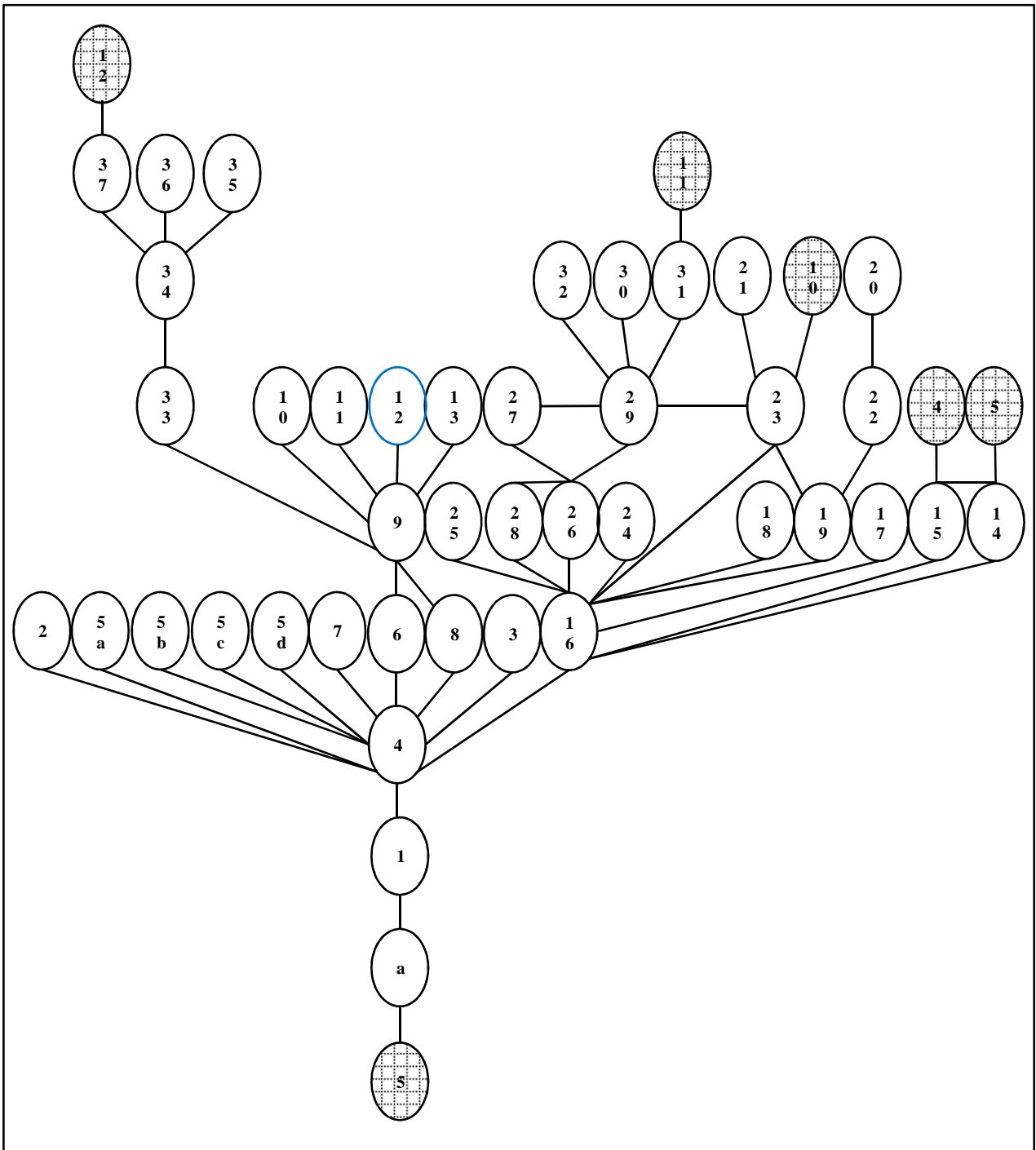
Casa del Centauro, POMPEI 6 9, 3. 5



Planimetria della *domus*  
(rielaborazione dell'immagine BRAGANTINI 1993 c, p. 819)



*Access map*

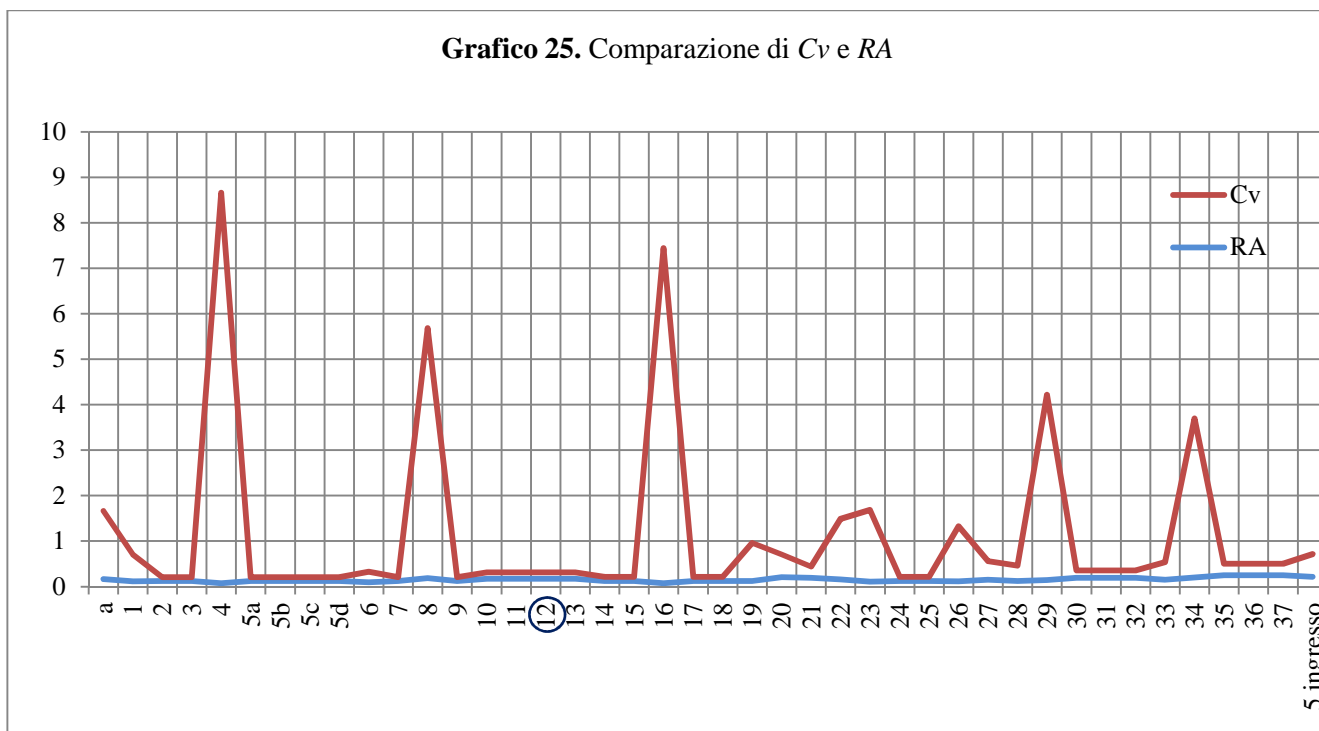


Pianta «giustificata»

**Tabella 26.** Valori di *Control value*, *mean Depth* e *relative Asymmetry*:

Vano	Cv	MD	RA
(a)	1,5	4,26	0,163
(1)	0,59	3,34	0,117
(2)-(3), (5 a-d), (7), (9)	0,09	3,43	0,121
(4)	8,59	2,46	0,073
(6)	0,233	2,95	0,097
(8)	5,5	2,95	0,097
(10)-(13)	0,142	4,43	0,171
(14)-(15), (17)-(18), (24)-(25)	0,09	3,53	0,126
(16)	7,37	2,43	0,071
(19)	0,84	3,09	0,104
(20)	0,5	5,17	0,208
(21)	0,25	4,87	0,193
(22)	1,33	4,19	0,159
(23)	1,58	2,17	0,108
(26)	1,25	3,29	0,114
(27)	0,41	4,07	0,153
(28)	0,34	3,41	0,12
(29)	4,08	3,87	0,143
(30)-(32)	0,16	4,85	0,192
(33)	0,39	4,02	0,151
(34)	3,5	5,04	0,202
(35)-(37)	0,25	6,07	0,253
(5) ingr.	0,5	5,24	0,212

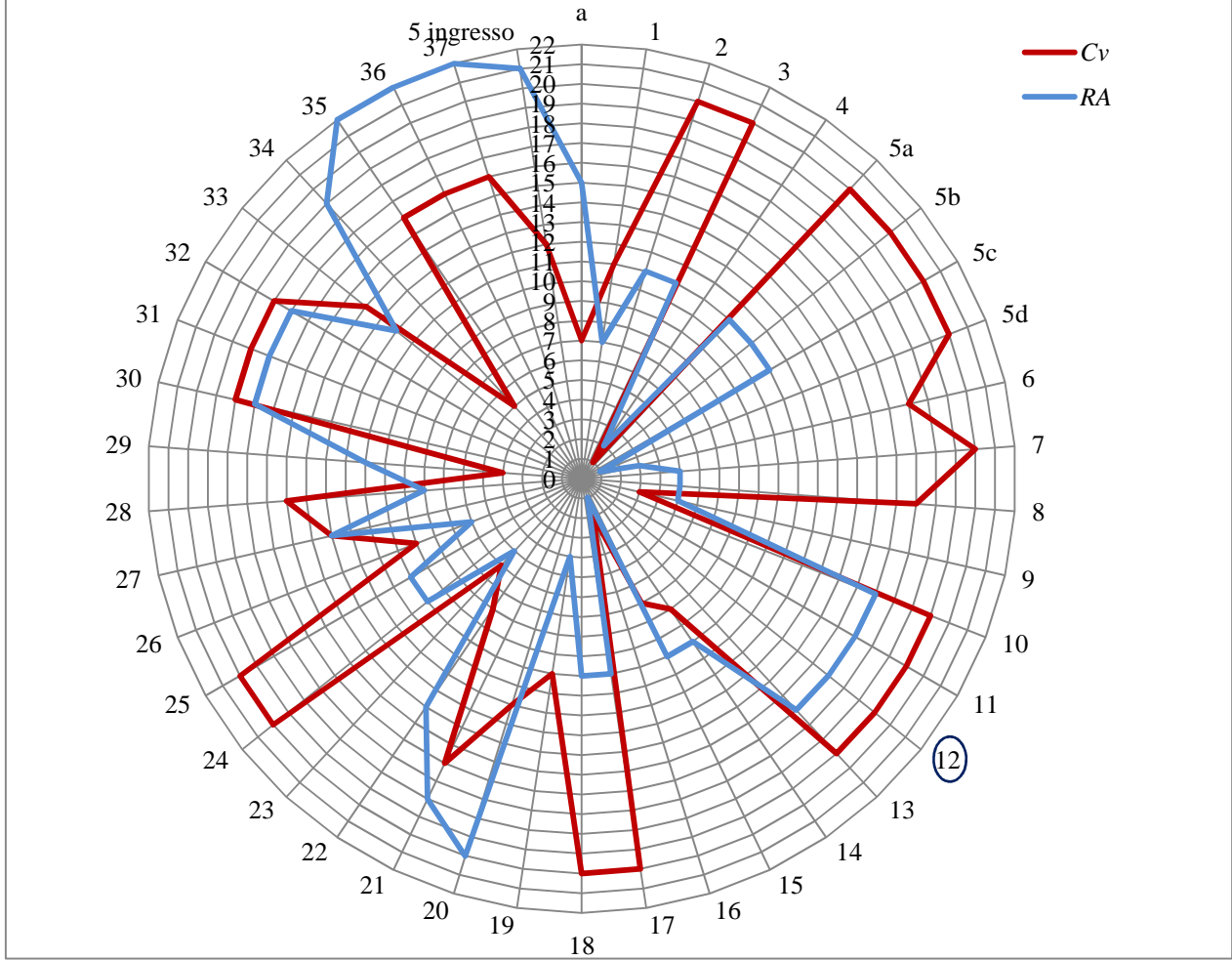
**Grafico 25.** Comparazione di Cv e RA



**Tabella 27.** Classifiche dei vani a seconda dei loro  $C_v$  e RA:

Ambiente : $C_v$	Posizione	Ambiente : RA
(4) (8,59)	<b>1</b>	(16) (0,071)
(16) (7,37)	<b>2</b>	(4) (0,073)
(9) (5, 5)	<b>3</b>	(6), (28) (0,097)
(29) (4,08)	<b>4</b>	(19) (0,104)
(34) (3,5)	<b>5</b>	(23) (0,0108)
(23) (1,58)	<b>6</b>	(26) (0,146)
(a), (1,5)	<b>7</b>	(1) (0,117)
(22) (1,33)	<b>8</b>	(28) (0,12)
(26) (1,256)	<b>9</b>	(2)-(3), (5 a-d), (7), (9) (0,121)
(19) (0,84)	<b>10</b>	(14)-(15), (17)-(18), (24)-(25) (0,126)
(1) (0,59)	<b>11</b>	(29), (0,143)
(5 ingr.), (20) (0,5)	<b>12</b>	(33) (0,151)
(27) (0,41)	<b>13</b>	(27) (0,153)
(33) (0,39)	<b>14</b>	(22) (0,159)
(28) (0,34)	<b>15</b>	(a) (0,163)
(21), (35)-(37) (0,25)	<b>16</b>	<b>(10)-(13)</b> (0,171)
(6), (8) (0,233)	<b>17</b>	(30)-(32) (0,192)
(30)-(32) (0,166)	<b>18</b>	(21) (0,193)
<b>(10)-(13)</b> (0,142)	<b>19</b>	(34) (0,202)
(2)-(3), (5 a-d), (7), (17)-(18), (24)-(25) (0,09)	<b>20</b>	(20) (0,208)
	<b>21</b>	(5 ingr.) (0,212)
	<b>22</b>	(35)-(37) (0,253)

**Grafico 26.** Rappresentazione dei vani secondo la loro classificazione per  $C_v$  e  $RA$



**TABELLE RELATIVE ALLE INTERPRETAZIONI DEGLI AFFRESCHI DELLE  
NOZZE DI ENEA E DIDONE NELLA GROTTA E DI DIDONE INFELICE PER  
L'ABBANDONO DI ENEA**

**Tabella 1. Quadro della Casa di Citarista, Pompei 1 4, 5.25**

<b>Ares e Afrodite / Marte e Venere</b>	<b>Venere e Anchise</b>	<b>Venere e un suo amante</b>	<b>Enea e Didone</b>	<b>Venere e Adone</b>
HELBIG 1868, p. 83, n° 323	SIMON 1974, pp. 36-38	BRAGANTINI, SAMPAOLO 1995, pp. 605 e 607, fig. 41	DE VOS 1990, pp. 151 e 153 s	ZANKER 2002, pp. 121 e 124, fig. 92
HELBIG 1869, pp. 520-523	SIMON 1984, p. 548, n° 378 a		BRAGANTINI, SAMPAOLO 1995, pp. 605 e 607, fig. 41	
HELBIG 1873, p. 222	SCHMIDT 1997, p. 224, n° 358		PROVENZALE 2004, pp. 164 ss.	
DILTHEY 1875, pp. 15 ss.			STROCKA 2005/2006, p. 98	
HERRMANN 1904-1931, pp. 144 ss.			STROCKA 2006, pp. 274 ss.	
REINACH 1922, p. 65, fig. 1			NAVA 2007 p. 132	
ELIA 1937, pp. 9 s., tav. III			PROVENZALE 2008, pp. 19 e 208, figg. 2 e 69	
SCHEFOLD 1957, p. 15			SIMON 2009 b, p. 170, n° add. 3	
KENNER 1976, p. 138				

**Tabella 2. Quadro della *domus* 9 7, 16**

<b>Ares e Afrodite / Marte e Venere</b>	<b>Venere e Adone</b>	<b>Enea e Didone</b>
MAU 1883, p. 132	SCHEFOLD 1962, p. 94	SAMPAOLO 1999, p. 804
RODENWALDT 1909, pp. 125 s., fig. 22		PROVENZALE 2004, p. 166
REINACH 1922, p. 65, fig. 5		STROCKA 2005/06, p. 99, nota 64
SCHEFOLD 1957 p. 269		STROCKA 2006, p. 280
SIMON 1984, p. 548, n° 378		PROVENZALE 2008, p. 209
SAMPAOLO 1999, p. 804		

**Tabella 3. Quadro della Casa delle Vestali, Pompei 6 1, 7.**

<b>Ares e Afrodite / Marte e Venere</b>	<b>Venere e Anchise</b>	<b>Enea e Didone</b>
BECHI 1824, tav. XVIII, pp. 1-3	PROVENZALE 2004, pp. 176 ss.	PROVENZALE 2004, pp. 176 ss.
HELBIG 1868, pp. 81 s., n° 316	STAUB GIEROW 2005, pp. 363 ss.	STROCKA 2005/06, p. 99, nota 64
FIORELLI 1875, p. 75		STROCKA 2006, pp. 275 ss.
REINACH 1922, p. 65, fig. 2		PROVENZALE 2008, pp. 30 e 211-212
SCHEFOLD 1957, p. 91		
BRAGANTINI 1993, p. 21		
STAUB GIEROW 2005, pp. 363 ss.		



**Tabella 4. Quadro della *domus* pompeiana 6 15, 6**

<b>Artemide e un amante</b>	<b>Selene / Luna e Endimione</b>	<b>Afrodite / Venere e Adone</b>	<b>Artemide e Ippolito</b>	<b>Enea e Didone</b>	<b>Atalanta e Meleagro</b>	<b>Atalanta e Meilanio</b>	<b>Interpretazione aperta e incerta</b>
SOGLIANO 1897, p. 32	MAU 1898, pp. 26 s.	MAU 1898, pp. 26 s.	PETERSEN 1899 p. 166	SOGLIANO 1900-01, pp. 67 ss.	RUMPF 1948/49, pp. 341 ss..	HERGIB 1959, pp. 209 ss.	CANCIANI 1981 a, p. 393, n° 209
MAU 1898, pp. 26 s.	RIZZO 1930, pp. 9 ss., fig. 1	SCHEFOLD 1957, p. 151	ROBERT 1919 a, p. 349	RIZZO 1929, p. 86	BOARDMAN 1984, p. 944, n° 45	BOARDMAN 1984, p. 944, n° 45	SAMPAOLO 1994, p. 635, fig. 20
SIMON 1984, p. 830, n° 359	SIMON 1988, p. 195	SCHEFOLD 1962, p. 94	REINACH 1922, p. 55, fig. 4	RUMPF 1954, pp. 341-344			PROVENZALE 2008, pp. 31 s. e 212 s.
			PFUHL 1923, p. 833, fig. 667	GALINSKY 1969, p. 30, fig. 26			
				GIGANTE 1979, pp. 178 ss.			
				HEINSIUS 1978, pp. 39 s., n° 3			
				AICHHOLZER 1983, p. 38, n° 79			
				SIMON 1984, p. 830, n° 359			
				NOLL 1982, p. 267, b			
				GEYER 1989, p. 191			
				CROISILLE 1994 a, pp. 168 e 175, n° 5			
				STROCKA 2005/06, p. 99, nota 64			
				STROCKA 2006, pp. 277 ss.			

**Tabella 5. Quadro della Casa di Sirico, Pompei, 7 1, 25.47**

<b>Ares e Afrodite / Marte e Venere</b>	<b>Venere e Adone</b>	<b>Enea e Didone</b>
HELBIG 1868, p. 82, n° 317	BRAGANTINI 1996, p. 349	PROVENZALE 2004, pp. 166 s.
SOGLIANO 1879, p. 23		STROCKA 2005/06, p. 99, nota 64
OVERBACK, MAU 1884, p. 325		STROCKA 2006, pp. 279 s.
SCHEFOLD 1957, p. 166		PROVENZALE 2008, pp. 20 e 210 s.
BRAGANTINI 1996, p. 349		

**Tabella 6. Quadro della *domus* pompeiana 9 6, d-e**

<b>Enea e Didone</b>
SOGLIANO 1879, p. 23
SOGLIANO 1880, SOGLIANO 1880, p. 123, n° 602
MAU 1881, p. 29
RIZZO 1930, pp. 9-12; tav. I, fig. 1
SCHEFOLD 1957, p. 267
SCHEFOLD 1962, p. 94, nota 194 a, tav. 175, fig. 2
GALINSKY 1969, p. 30, fig. 25
HEINSIUS 1979, pp. 38 s., n° 2
CANCIANI 1981 a, p. 391, n° 157
NOLL 1982, p. 265, n° 1
AICHHOLZER 1983, pp. 37 s., n° 78
GEYER 1989, p. 191
CROISILLE 1994 a, pp. 168 e 175, n° 5a
SIMON 1997, p. 560, n° 5
BRAGANTINI 1999 b, pp. 730 s., fig. 15
BALMELLE, REBOURG 2001, p. 17
PROVENZALE 2004, pp. 164 e 167
STROCKA 2005/2006, p. 98
STROCKA 2006, pp. 274 s., fig. 4
PROVENZALE 2008, pp. 18 e 207, fig. 1
SIMON 2009 b, p. 170, n° 5

**Tabella 7. Casa dell'Accademia di musica**

	<b>Figura di sinistra</b>	<b>Figura centrale</b>	<b>Figura a destra</b>
GORO VON AGYAGFALVA 1825, p. 103	Africa	Didone	-
JORIO 1828, pp. 71 s.	-	"	-
BONUCCI 1830, p. 103	-	"	Anna
HELBIG 1868, p. 249, n° 1381 b	-	"	"
RIZZO 1930, p. 10	Iside-Nemesi	"	-
SPINAZZOLA 1953, pp. 157 s.	Africa	"	-
SCHEFOLD 1957, p. 96	"	"	-
BROMMER 1976, p. 75, n° 2	-	"	-
HEINSIUS 1978, p. 40	Iside-Nemesi	"	Anna
AICHHOLZER 1983, p. 36	Africa	"	-
LING 1990, p. 477	Iside-Nemesi	"	-
SAMPAOLO 1993 a, p. 286	Africa	"	-
CROISILLE 1994, pp. 170 s.	"	"	-
BALMELLE, REBOURG 2001, p. 18	"	"	Anna
WILSON 2004, pp. 166 s., nota 99	Etiopia	"	Africa
STROCKA 2005/2006, pp. 99 ss.	-	"	-
HODSCHE 2007, p. 249	-	"	-
SIMON 2009 b, p. 170, n° add. 5	-	"	-

**Tabella 8. Casa di Meleagro**

<b>Autore</b>	<b>Figura di sinistra</b>	<b>Figura centrale</b>	<b>Figura a destra</b>
BONUCCI 1829, pp. 193 s.	donna africana	una regina	-
BECHI 1831, p. 3	Asia (?)	Europa (?) o Cleopatra (?)	Africa (?)
A. NICOLINI secondo FINATI 1833, p. 1	Asia	Europa	Africa
FINATI 1833, p. 3	"	Cleopatra	Egitto
CIRILLO 1843, p. 140 ss.	"	"	"
HELBIG 1868, pp. 223 s., n° 1113	Asia	Europa	Africa
FIGLIOLI 1875, p. 129	Africa	"	Asia
OVERBECK, MAU 1884 p. 309	Asia	"	Africa
MELTZER 1884-1886, c. 1015	ancella	Didone	"
RUESCH, 1908, p. 330, n° 1386	"	"	"
REINACH 1922, p. 176, n° 3	Libia (?) -	Alessandria ? Didone ?	Africa ? -
RIZZO 1929, p. 47, tav. 214	Asia	Alessandria	Egitto
BAYET 1931, p. 45	Africa Proconsularis	-	Asia
ELIA 1932, p. 74, n° 146	-	Alessandria	-
HERBIG 1934-1950, pp. 26 s., tav. 214	Barce	Didone	Libia
HINKS 1968 [1939], p. 69, tav. 10 b	Asia	Alessandria	Africa
SPINAZZOLA 1953, pp. 157 s.	-	Didone	"
RICHARDSON 1955, p. 141	-	"	"
SCHEFOLD 1957, p. 111	-	"	-
ROCCHETTI 1958 a, p. 108	Asia	Alessandria	Africa
ROCCHETTI 1958 b, p. 218	"	"	"
ROCCHETTI 1958 d, p. 707	"	"	"
DE FRANCISCIS 1963, p. 73	-	"	-
BROMMER 1976, p. 75, n° 1	-	Didone	-
HEINSIUS 1978, p. 40	-	"	Iside-Nemesi
AICHHOLZER 1983, p. 36	-	"	Africa
CATANI 1987, pp. 386 s. e 401, tav. I, a	Elenfantina o Libia	Alessandria	"
ROBERTSON 1988, p. 92, n° 2	Asia?	Europa?	Africa?
BORRIELLO <i>ET ALII</i> 1989, p.152 s., n° 210	-	Didone	Africa
LING 1990, p. 477	Anna	"	Iside-Nemesi
OSTROWSKI 1990, pp. 87 e 110-111, nn° 36 e ?8	Etiopia	Alessandria	Africa
SIMON 1991, p. 241	Anna	Didone	Africa
ZAGDOUN 1992, p. 286, n° 13	Libia	Europa	"
BRAGANTINI 1993 b, p. 677, fig. 42	-	Didone	"
CROISILLE 1994, pp. 170 s.	-	"	"
DE CARO 1994, p. 185	Anna	"	"
SALCEDO GARCÉS 1994, pp. 74 s., fig. 2	India	Alessandria	"
SALCEDO 1996, pp. 110 s., n° 124, tav. 42, figg. a-c	"	"	"
SIMON 1997, p. 561, n° 13	-	Didone	Libia
BALMELLE, REBOURG 2001, p. 18	Anna	"	Africa
WILSON 2004, pp. 166 s. e 170, tav. I, 2.	Etiopia	"	"
STROCKA 2005/2006, pp. 99 ss.	-	"	-
HODSCHE 2007, p. 249	-	"	Africa
WILSON 2009, pp. 38 s.	Etiopia	"	"
SIMON 2009 b, p. 170, n° add. 5	-	"	-

**Tabella 9. Casa degli Amanti**

<b>Autore</b>	<b>Figura di sinistra</b>	<b>Figura centrale</b>	<b>Figura a destra</b>
ELIA 1934, pp. 330 ss.	Anna o una serva	Didone	Iside-Nemesi
HERBIG 1934-1950, pp. 26 s.	Barce	"	Libia
BRENDEL 1935, p. 570	-	"	Iside-Nemesi
DOHRN 1955, pp. 69 s., fig. 7	Anna	"	-
SCHEFOLD 1957, p. 48	-	"	-
BROMMER 1976, p. 75, n° 3	-	"	-
HEINSIUS 1979, p. 40, n° 5	-	"	Iside-Nemesi
GEYER 1989, p. 193	-	"	-
LING 1990, pp. 476 s., n° 54	-	"	Iside-Nemesi
CROISILLE 1994, p. 172, n° 12	-	"	Africa
SIMON 1997, p. 561, n°13 a	-	"	Libia
BALMELLE, REBOURG 2001, p. 18	-	"	-
WILSON 2004, pp. 166 s., nota 99	Etiopia	"	Africa
R. LING, L. LING 2005, pp. 123 s., fig. 108	Anna	"	"
HODSCHE 2007, p. 249, n° 75	"	"	"

**CARTINE**



Cartina 1. Diffusione dell'iconografia della fuga di Enea, Anchise e Ascanio con i *sacra* da Troia



Cartina 2. Il triangolo entro cui spiccano le attestazioni della fuga di Enea, Anchise e Ascanio con i *sacra* da Troia in ambito funerario